



Gutachten zu Risiken durch Eiswurf/Eisfall und Bauteilversagen am Standort Züssow

Referenz-Nummer:

F2E-2019-WND-115, Rev. 1 - ungekürzte Fassung

Auftraggeber:

Windpark Züssow Infrastruktur GmbH & Co. KG
Radlower Damm 5, 17495 Züssow

Die Ausarbeitung des Gutachtens erfolgte durch:

Fluid & Energy Engineering GmbH & Co. KG
Borsteler Chaussee 178, 22453 Hamburg, www.f2e.de

Verfasser:

Dipl.-Met. Nicole Stoffels, Sachverständige,

Hamburg, 13.08.2019

Gepprüft:

Dr.-Ing. Thomas Hahm, Sachverständiger,

Hamburg, 13.08.2019

Urheber- und Nutzungsrecht:

Urheber des Gutachtens ist die Fluid & Energy Engineering GmbH & Co. KG. Der Auftraggeber erwirbt ein einfaches Nutzungsrecht entsprechend dem Gesetz über Urheberrecht und verwandte Schutzrechte (UrhG). Das Nutzungsrecht kann nur mit Zustimmung des Urhebers übertragen werden. Veröffentlichung und Bereitstellung zum uneingeschränkten Download in elektronischen Medien sind verboten. Eine Einsichtnahme der gekürzten Fassung des Gutachtens gemäß UVPG §23 (2) über die zentralen Internetportale von Bund und Ländern gemäß UVPG §20 Absatz (1) wird gestattet.



Inhaltsverzeichnis

1 Aufgabenstellung.....	3
2 Grundlagen.....	4
2.1 Vereisung.....	4
2.2 Regelungen in den Normen zum Eiswurf- / Eisfallrisiko.....	5
2.3 Eintrittshäufigkeiten Bauteilversagen.....	7
2.4 Berechnung der Flugbahnen von Eisstücken.....	8
2.5 Vereisungshäufigkeiten.....	8
2.6 Berechnung der Flugbahn von Blattbruchstücken.....	10
2.7 Berechnung der Auftreffhäufigkeit nach Turmversagen.....	12
2.8 Grenzwerte und Risikobewertung.....	12
2.8.1 Grenzwerte individuelles Risiko.....	12
2.8.2 Grenzwerte kollektives Risiko.....	14
2.8.3 Risikobewertung.....	15
2.8.4 Addition von Risiken.....	18
3 Eingangsdaten.....	20
3.1 Windparkkonfiguration und Schutzobjekte.....	20
3.2 Winddaten am Standort.....	25
3.3 Aufenthaltshäufigkeiten.....	25
3.4 Standortspezifische Grenzwerte für das kollektive Risiko.....	26
3.5 Eiserkennung.....	26
3.5.1 Eiserkennungssystem.....	26
3.5.2 Zustand nach Abschaltung.....	27
3.5.3 Azimut-Position bei Stillstand.....	27
4 Durchgeführte Untersuchungen.....	28
4.1 Standortbesichtigung.....	28
4.2 Vereisungshäufigkeit am Standort.....	28
4.3 Anzahl sich lösender Eisstücke.....	29
4.4 Betrachtung der Einzelrisiken.....	29
4.4.1 Eiswurf.....	30
4.4.2 Eisfall.....	30
4.4.3 Bauteilversagen.....	30
4.4.4 Ermittlung der Gefährdungsbereiche.....	30
4.5 Bewertung des Gesamtrisikos.....	30
5 Weitere Maßnahmen.....	33
5.1 Eisfall.....	33
6 Zusammenfassung.....	34
7 Formelzeichen und Abkürzungen.....	36



8 Literaturangaben.....	37
Anhang A: Detaillierte Berechnungsergebnisse Bauteilversagen.....	39
A.1 Berechnung der Auftreffhäufigkeiten von Blattbruchstücken.....	39
A.2 Turmversagen.....	40
A.3 Verlust der Gondel bzw. des Rotors.....	40
A.4 Schadenshäufigkeiten.....	41
Anhang B: Detaillierte Berechnungsergebnisse Eisfall.....	44
B.1 Berechnung der Auftreffhäufigkeiten.....	44
B.2 Schadenshäufigkeiten.....	45

1 Aufgabenstellung

Die Fluid & Energy Engineering GmbH & Co. KG ist beauftragt worden, die vorliegende Windparkkonfiguration hinsichtlich einer Gefährdung durch Eiswurf und Eisfall ausgehend von sich in Betrieb befindlichen bzw. stillstehenden (trudelnden) Windenergieanlagen (WEA) zu betrachten. Weiterhin wird eine Gefährdung durch Rotorblattbruch, Turmversagen und Verlust der Gondel bzw. des Rotors an den WEA betrachtet.

Die Bewertung erfolgt auf Basis des Gesamtrisikos durch Eiswurf/Eisfall und Bauteilversagen.



2 Grundlagen

2.1 Vereisung

Abhängig von den Vereisungsbedingungen kann es auf dem Rotorblatt einer WEA zu starken Vereisungen kommen, in deren Folge eine Gefahr durch sich lösende bis zu mehreren Kilogramm schwere Eisstücke besteht.

Während des Betriebes der WEA erfahren diese Eisstücke einen deutlichen Anfangsimpuls durch das schnell rotierende Blatt. In diesem Fall wird daher von Eiswurf gesprochen. Während des Stillstandes der WEA trudelt diese mit deutlich niedrigeren Drehzahlen. In diesem Fall wird daher von Eisfall gesprochen. In beiden Fällen (Eiswurf und Eisfall) wirken auf die abgelösten Eisstücke durch den Wind weitere Kräfte. Bei Sturm und auch entlang eines abfallenden Geländes können so nennenswerte Flugweiten erreicht werden.

Vereisung tritt ein, wenn entweder unterkühlte Wassertropfen auf das Rotorblatt aufschlagen oder die Oberflächentemperatur des Rotorblattes unterhalb des Reifpunktes liegt und Wasserdampf auf der Oberfläche in Form von Reif sublimiert.

Im Temperaturbereich von ca. 0° bis -10°C bildet sich aus den Wassertropfen beim Auftreffen auf das Rotorblatt Eis. Bis etwa -4°C kommt es dabei aufgrund der verzögerten Eisbildung zu großflächiger Klareisbildung. Bei niedrigeren Temperaturen dominiert hingegen die Raueisbildung, mit geringer Haftoberfläche und einem milchigeren und rauherem Erscheinungsbild.

Unterhalb von -10°C können sich größere Ablagerungen von Raureif an den Profilkanten bilden. Der sich bei noch kälteren Temperaturen bildende Reif bildet typischerweise keine größeren Ablagerungen und spielt hinsichtlich einer Gefährdung durch Eisfall oder Eiswurf keine Rolle.

Grundsätzlich sollten bei der Gefährdung durch Eisfall bzw. Eiswurf daher zwischen großflächigen Eisplatten, die sich über einen großen Bereich der Profiltiefe ausbilden können, und schlankeren Eisstücken, die von der Profilkante abbrechen, unterschieden werden. Hinweise zu Form und Masse von Eisstücken finden sich z.B. in /1.1/.

Aufgrund der extrem hohen Variabilität der Vereisungstage von Jahr zu Jahr werden langjährige Messungen benötigt, die möglichst auf einen klimatologischen Zeitraum, also 30 Jahre, zu beziehen sind /2.1/. Derart langjährige Messungen oder Beobachtungen liegen in Deutschland z.B. in Bodennähe für die Klimastationen des Deutschen Wetterdienstes DWD vor. Messungen in Bodennähe unterliegen jedoch starken mikroskaligen Einflüssen, so dass sie bezüglich einer Vereisung schon wenige



hundert Meter entfernt nicht mehr aussagekräftig sein können, wenn sich dort z.B. aufgrund einer lokalen Senke kalte Luft sammelt. Diese mikroskaligen Effekte, die auf Nabenhöhe der Windenergieanlagen typischerweise keine Rolle mehr spielen, zu identifizieren und entsprechend zu korrigieren ist so gut wie nicht möglich. Hinzu kommt, dass die Daten der Klimastationen oft über mehr als 10km und auf andere Höhen über Meeressniveau übertragen werden müssen, so dass die Unsicherheiten in der Vorhersage der Vereisungstage nach dieser Methode insgesamt sehr groß sind.

Eine weitere mögliche Quelle stellen großflächige Vereisungskarten dar, wie sie z.B. in /1.1/ und /1.2/ dargestellt sind. Diese Karten liefern jedoch nur Hinweise und Tendenzen. In /1.2/ wird darauf hingewiesen, dass im Gegensatz zu den in den großflächigen Karten dargestellten Werten, die tatsächlichen Werte schon auf kurzen Distanzen stark schwanken können und die lokale Geländetopografie berücksichtigt werden sollte. Die daraus entstehenden Unterschiede in der Einschätzung der Vereisungstage können extrem groß sein, so dass diese Karten selbst zur Plausibilisierung lokaler Vereisungsdaten nur sehr bedingt geeignet sind.

Für Deutschland liegt mittlerweile eine hochaufgelöste Vereisungskarte des DWD vor, die die lokale Topografie berücksichtigt /1.8/. Sie stellt vor dem Hintergrund der dargestellten Zusammenhänge die zurzeit beste Datengrundlage zur Ermittlung der Vereisungstage für Standorte in Deutschland dar.

2.2 Regelungen in den Normen zum Eiswurf- / Eisfallrisiko

In /1.1/ findet sich für Regionen mit einer hohen Vereisungshäufigkeit die Empfehlung, einen Mindestabstand von $1,5 \cdot (\text{Nabenhöhe} + \text{Rotordurchmesser})$ zu gefährdeten Bereichen einzuhalten oder die Windenergieanlage bei Vereisungsbedingungen abzuschalten.

Der vorgeschlagene Mindestabstand von $1,5 \cdot (\text{Nabenhöhe} + \text{Rotordurchmesser})$ fand in Deutschland Eingang in die Muster-Liste der technischen Baubestimmungen bzw. die Muster-Verwaltungsvorschrift Technischen Baubestimmungen /2.2/. Dort heißt es in der Anlage zur Richtlinie für Windenergieanlagen:

„Abstände zu Verkehrswegen und Gebäuden sind unbeschadet der Anforderungen aus anderen Rechtsbereichen wegen der Gefahr des Eisabwurfs einzuhalten, soweit eine Gefährdung der öffentlichen Sicherheit nicht auszuschließen ist. Abstände größer als $1,5 \times (\text{Rotordurchmesser plus Nabenhöhe})$ gelten im Allgemeinen in nicht besonders eisgefährdeten Regionen als ausreichend. In anderen Fällen ist die Stellungnahme eines Sachverständigen erforderlich.“

Soweit dieser Mindestabstand nicht eingehalten wird bzw. der Standort der Wind-



energieanlage in einer besonders eisgefährdeten Region liegt und der Mindestabstand daher keine Anwendung finden kann, ist also das Risiko durch Eiswurf standortspezifisch zu bewerten.

Weiterhin wird in /2.2/ ausgeführt, dass die gutachterliche Stellungnahme eines Sachverständigen zur Funktionssicherheit von Einrichtungen vorzulegen ist, durch die der Betrieb der Windenergieanlage bei Eisansatz sicher ausgeschlossen werden kann oder durch die ein Eisansatz verhindert werden kann. Dies hat immer dann zu erfolgen, wenn erforderliche Abstände wegen der Gefahr des Eisabwurfes nicht eingehalten werden.

Die gutachterliche Stellungnahme zur Funktionssicherheit von Einrichtungen zur Eiserkennung ist im Gegensatz zur gutachterlichen Stellungnahme bei Unterschreitung des in der Muster-Liste genannten Mindestabstandes von $1,5 \cdot (\text{Nabenhöhe} + \text{Rotordurchmesser})$ kein standortspezifischer Nachweis, sondern ein entweder vom Hersteller des Eiserkennungssystems bzw. für die Implementierung in eine spezifische Windenergieanlage vom Hersteller der Windenergieanlage einmalig für den jeweiligen Typ in Auftrag gegebenes Gutachten. Diese Systeme schließen damit den Betrieb bei potentiell gefährlichem Eisansatz aus, können aber nicht grundsätzlich Eisansatz verhindern. Das für eine Verhinderung des Eisansatzes in /2.2/ genannte Beispiel einer Rotorblattheizung ist an dieser Stelle typischerweise nicht als Sicherheitssystem konzipiert. Der Betrieb einer Rotorblattheizung wird daher durch einzelne Hersteller für Standorte, in deren Umgebung eventuell durch Eiswurf eine erhebliche Gefährdung besteht, sogar ausgeschlossen.

Damit ergibt sich die Situation, dass auch bei einem vorhandenen System zur Eiserkennung mit Eisfall (Ablösen von Eisstücken von der stillstehenden bzw. trudelnden Windenergieanlage) zu rechnen ist und damit auch in diesen Fällen bei Unterschreitung des Mindestabstandes von $1,5 \cdot (\text{Nabenhöhe} + \text{Rotordurchmesser})$ eine standortspezifische Bewertung des Risikos erfolgen sollte.

Der in der Abbildung 2.2.1 dargestellte Entscheidungsbaum für die Bewertung des Risikos durch Eiswurf und Eisfall fasst dies noch einmal zusammen.

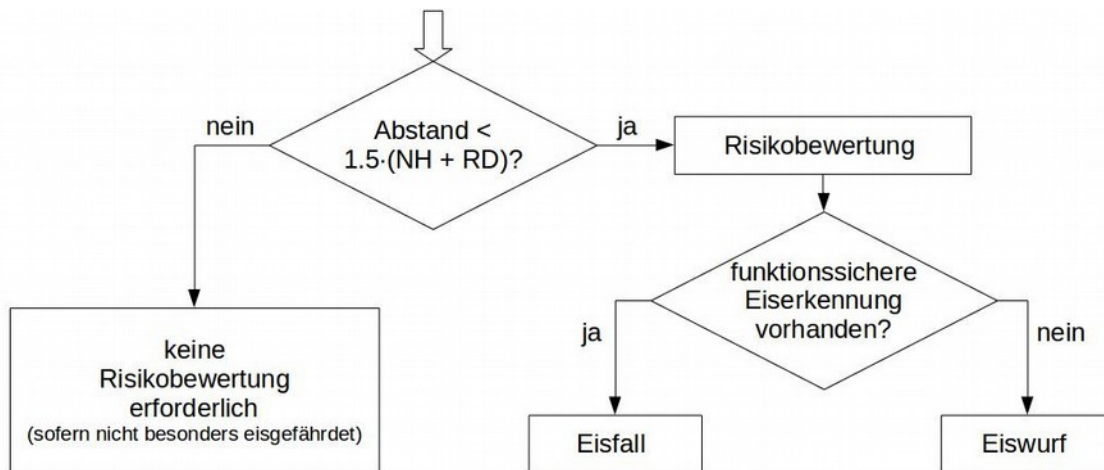


Abbildung 2.2.1: Entscheidungsbaum für die Bewertung des Risikos durch Eiswurf und Eisfall.

Auf internationaler Ebene wurden durch die International Energy Agency (IEA) Empfehlungen für die Risikobewertung von Eisfall und Eiswurf erarbeitet /2.1/. Neben der Risikobewertung beschäftigen sich die Empfehlungen der IEA auch mit der mathematischen Modellierung und den eingehenden Randbedingungen. Die Empfehlungen der IEA /1/ werden im Folgenden berücksichtigt.

2.3 Eintrittshäufigkeiten Bauteilversagen

Die Eintrittshäufigkeiten für die Schadensfälle Rotorblattbruch, Turmversagen und Verlust der Gondel bzw. des Rotors werden typischerweise auf Basis bekannter Schadenereignisse eingeschätzt. Umfassende Untersuchungen hierzu finden sich z.B. in /1.11/. Hier werden folgende Versagenshäufigkeiten pro WEA pro Jahr genannt:

Tabelle 2.3.1: Versagenshäufigkeiten an WEA pro Anlage und Jahr sowie gemeldete und bestätigte Wurfweiten nach /1.11/.

Anlagenteil	Versagenshäufigkeiten pro WEA pro Jahr		Maximale Wurfweite
	Erwartungswert	Erwartungswert zuzüglich Sicherheitszuschlag	
Ganzes Blatt	$6.3 \cdot 10^{-4}$	$8.4 \cdot 10^{-4}$	150m
Turm	$5.8 \cdot 10^{-5}$	$1.3 \cdot 10^{-4}$	Gesamthöhe der WEA
Gondel oder Rotor	$1.8 \cdot 10^{-5}$	$4.0 \cdot 10^{-5}$	Rotorradius



Die Erwartungswerte zuzüglich des Sicherheitszuschlages werden im Folgenden als Eintrittshäufigkeiten zugrunde gelegt.

Eine mögliche Ursache für ein Umstürzen der WEA, einen Absturz des Rotors, einen Absturz der Gondel oder den Verlust des ganzen bzw. Teilen eines Rotorblattes ist ein Brand der WEA. Das durch einen Brand hierdurch verursachte Risiko ist daher in der Risikobetrachtung für das Bauteilversagen enthalten und mit abgedeckt.

2.4 Berechnung der Flugbahnen von Eisstücken

Für die Berechnung der Flugbahnen der Eisstücke wird basierend auf den Luftwiderstandsbeiwerten, der Geometrie und der Masse der Eisstücke die Lage des Eisstückes während der gesamten Bewegung erfasst und verfolgt, so dass sich im Vergleich zu einer rein ballistischen Flugbahn ein realistischeres Bild der Flugweiten ergibt und auch solche Flugbahnen erfasst werden, bei denen im Einzelfall aufgrund von Auftriebskräften am Eisstück sehr hohe Flugweiten erreicht werden.

Im Rahmen einer Monte-Carlo-Simulation werden dabei folgende Größen zufällig im Rahmen der am Standort zu erwartenden Wahrscheinlichkeitsverteilung variiert:

- Windgeschwindigkeit auf Nabenhöhe,
- Windrichtung,
- Position des Eisstückes auf dem Blatt,
- Geometrie und Dichte des Eisstückes,
- Drehzahl und Stellung des Rotors im Moment der Ablösung des Eisstückes.

Für das Geländemodell in der Umgebung der WEA werden Daten aus /1.5/ berücksichtigt. Eine eventuell vorhandene Schutzwirkung durch Bewuchs oder Gebäude wird dabei vernachlässigt.

Das Berechnungsmodell wurde im Rahmen der Entwicklung der IEA Recommendations /2.1/ anhand von Messkampagnen in realen Windparks validiert.

2.5 Vereisungshäufigkeiten

Datengrundlage für die Bewertung der Vereisungshäufigkeit bildet die Vereisungskarte des Deutschen Wetterdienstes /1.8/. Für die Bestimmung der Häufigkeit atmosphärischer Vereisung wurden hierzu in /1.8/ verschiedene Wetter-Meldungen ausgewertet:

- Allgemeine Wetterereignisse:
 - leichter, mäßiger oder starker gefrierender Regen,



- leichter, mäßiger oder starker gefrierender Sprühregen,
- leichter, mäßiger oder starker Schneeregen,
- Eiskörner (gefrorene Regentropfen),
- Nebel mit Reifansatz
- Wetterereignisse bei Temperaturen $\leq 0^\circ$ Celsius:
 - durchgehender oder unterbrochener leichter, mäßiger oder starker Sprühregen,
 - leichter, mäßiger oder starker Sprühregen mit Regen,
 - durchgehender oder unterbrochener leichter, mäßiger oder starker Regen,
 - Nebel oder Nebel mit Reifansatz
- Wetterereignisse bei Temperaturen $> 0^\circ$ Celsius:
 - durchgehender oder unterbrochener leichter, mäßiger oder starker Schneefall,
 - leichter, mäßiger oder starker Schneeregen- oder Schneeschauer,
- Wetterereignisse der letzten Stunde aber nicht zur Beobachtungszeit:
 - Schneefall,
 - Schneeregen oder Eiskörner,
 - gefrierender Regen,
 - Schneeschauer bei Temperaturen $> 0^\circ$ Celsius,
 - Nebel bei Temperaturen $\leq 0^\circ$ Celsius.

Damit werden eine Vielzahl von Ereignissen erfasst, die nicht in allen Fällen zu einer signifikanten Vereisung bzw. in einigen Fällen zu keiner Vereisung der WEA führen. Gleichzeitig beziehen sich die Meldungen auf Beobachterhöhe und nicht auf die Nabenhöhe der WEA. Es wurden daher Vergleiche mit verschiedenen Klimastationen des Deutschen Wetterdienstes durchgeführt. Hierzu wurden langjährige (30 Jahre) Messreihen zum Tagesmittel der relativen Luftfeuchte und der Lufttemperatur ausgewertet, um die Vereisungshäufigkeit auf Nabenhöhe zu bestimmen. Der Vergleich zeigt, dass die in /1.8/ auf Beobachterhöhe ermittelten Vereisungshäufigkeiten konservativere Ergebnisse liefern. Eine Umrechnung auf Nabenhöhe der WEA ist daher unter Berücksichtigung der in /1.8/ betrachteten Ereignisse nicht erforderlich.

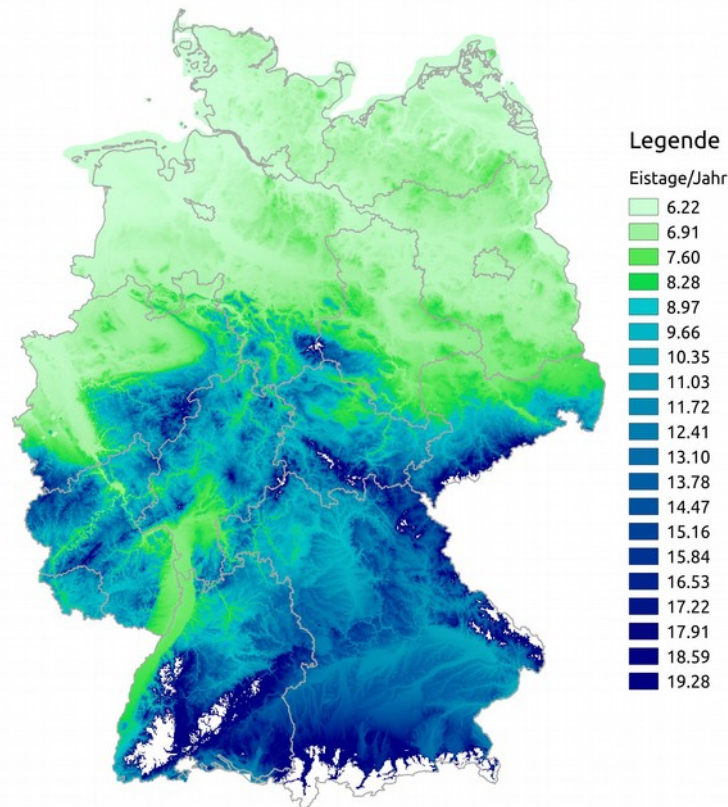


Abbildung 2.5.1: Eistage pro Jahr gemäß den Ergebnissen aus /1.8/ für Höhen bis 700m üNN.

Gemäß /1.8/ sind für Standorte in großen Höhen besondere Betrachtungen erforderlich, wenn diese besonders exponiert oder besonders geschützt liegen. Entsprechende Orte wurden in /1.8/ daher gefiltert. Die niedrigste betroffene Höhe liegt bei ca. 700m üNN, so dass das hier verwendete Verfahren im Folgenden für Orte bis zu einer Höhe von 700m üNN ohne Korrekturen angewendet wird. In diesem Höhenbereich weist die in /1.8/ verwendete exponentielle Regression eine gute Annäherung an die Daten auf und wird daher hier verwendet. Abbildung 2.5.1 zeigt die hierauf beruhende Vereisungskarte für Deutschland.

2.6 Berechnung der Flugbahn von Blattbruchstücken

Für die Berechnung der Flugbahnen der Blattbruchstücke wird basierend auf den Luftwiderstandsbeiwerten, der Geometrie und der Masse der Blattbruchstücke die Lage des Blattbruchstückes während der gesamten Bewegung erfasst und verfolgt, so dass sich im Vergleich zu einer rein ballistischen Flugbahn ein realistischeres Bild der Flugweiten ergibt und auch solche Flugbahnen erfasst werden, bei denen im Einzelfall aufgrund von Auftriebskräften am Blattbruchstück sehr hohe Flugweiten erreicht



werden. In Abbildung 2.6.1 ist eine beispielhafte Flugbahn visualisiert.

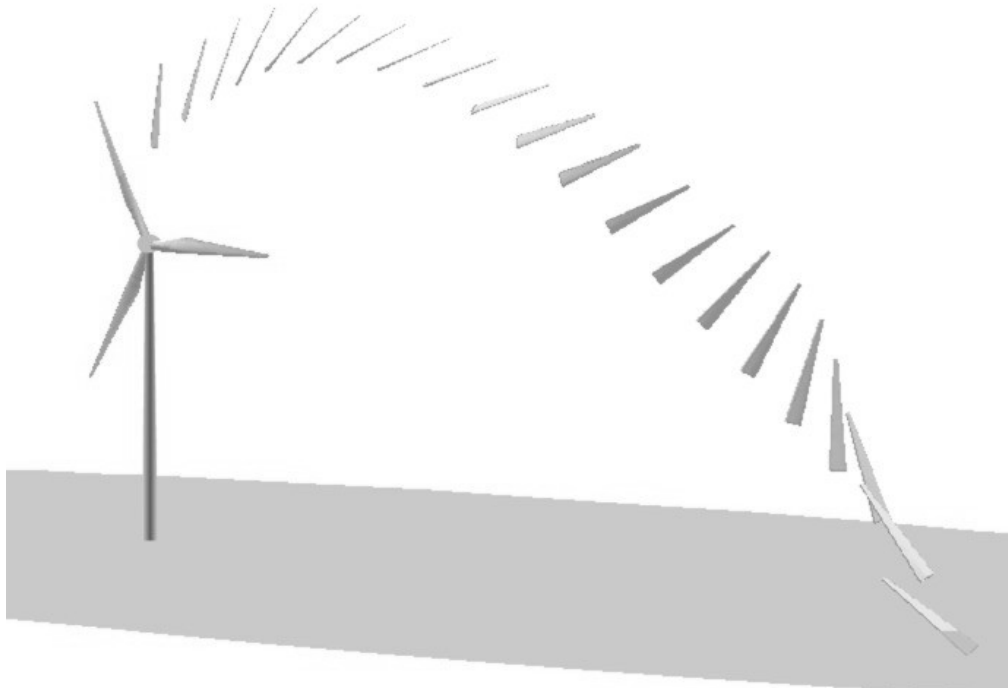


Abbildung 2.6.1: Beispielhafte Flugbahn eines Blattbruchstückes /1.12/.

Für die Berechnung werden für die Leistungsklasse der WEA repräsentative Daten zu Blattmassenverteilung, Geometrie, aerodynamischen Beiwerten (Auftrieb-, Schub- und Momentenbeiwerte an verschiedenen Blattschnitten) sowie Pitch- und Drehzahlverlauf unterstellt. Der Bruch wird in allen Fällen als glatter, plötzlicher Abriss modelliert, der während des Bruchvorgangs keine Energie verbraucht.

Im Unterschied zu /1.11/, wo stets der Abriss des ganzen Blattes unterstellt wird, werden auch größere Blattbruchstücke betrachtet, die tendenziell zu größeren Flugweiten und damit zu einer konservativen Betrachtungsweise führen.

In der Summe wurden ca. 5.5 Millionen Flugbahnen ausgewertet.

Folgende Randbedingungen wurden bei der Berechnung zugrunde gelegt:

- Abrisspunkte:
 - ganzes Blatt (50% der Ereignisse),
 - Bruchstücke von 90%, 70%, 50% und 30% der Blattlänge (jeweils 12.5% der Ereignisse).
- Windgeschwindigkeitsverteilung entsprechend Tabelle 3.2.1.



- Windrichtung in 1° Grad-Schritten gewichtet mit der Häufigkeitsverteilung der Windrichtungen entsprechend Tabelle 3.2.1.
- Rotorblattstellung zum Zeitpunkt des Abrisses: gleichverteilt in 2°-Schritten.
- Drehzahl der WEA: Abhängig von der Windgeschwindigkeit entsprechend Kennlinie der WEA (Überdrehzahl wird vernachlässigt, da dies als Ursache für Blattbruch vernachlässigbar ist /1.11/).
- Geländehöhe: für das Geländemodell in der Umgebung der WEA werden Daten aus /1.5/ berücksichtigt.

Für die Ermittlung der Gesamthäufigkeit, dass ein Blattbruchstück auf einer Fläche von einem Quadratmeter in der Umgebung einschlägt, ist anschließend die Eintrittswahrscheinlichkeit von $8.4 \cdot 10^{-4}$ für einen Blattbruch pro WEA und pro Jahr nach Tabelle 2.3.1 mit in Betracht zu ziehen.

2.7 Berechnung der Auftreffhäufigkeit nach Turmversagen

Ermüdungsschäden an Türmen sind selten. Es kann angenommen werden, dass das Versagen eines Turmes aufgrund von Ermüdung durch die Bauüberwachung und wiederkehrenden Prüfungen weitestgehend ausgeschlossen werden kann /1.13/. Eine Gefährdung durch Turmversagen wird daher unterstellt, wenn es bei extremer Belastung (Sturm) aufgrund von Konstruktions-, Planungs- oder Wartungsfehlern zu einem Versagen des Turmes bzw. des Fundamentes kommt.

Aus den Abmaßen der WEA und der Lage der Schutzobjekte ergibt sich die Windrichtung aus denen die Starkwindlagen unterstellt werden müssen. Aus den Winddaten in Tabelle 3.2.1 werden anschließend die relativen Häufigkeiten für Starkwind mit einem 10-Minuten-Mittelwert von mehr als 16m/s auf Nabenhöhe für die jeweils zu betrachtenden Windrichtungen bestimmt. In Verbindung mit der Versagenhäufigkeit aus Tabelle 2.3.1 ergeben sich die Gesamthäufigkeiten.

2.8 Grenzwerte und Risikobewertung

2.8.1 Grenzwerte individuelles Risiko

Für Personenschäden findet sich in der Literatur das Konzept der minimalen endogenen Sterblichkeit (MEM) /2.3/. Die minimale endogene Sterblichkeit in entwickelten Ländern findet sich in der Gruppe der fünf bis 15jährigen. Sie liegt bei $2 \cdot 10^{-4}$ Todesfällen pro Person und Jahr. Eine neue Technologie sollte diese endogene Sterblichkeit nicht nennenswert erhöhen. Es wird daher gefordert, dass die einer neuen Technologie verbundene Sterblichkeit nicht mehr als $1 \cdot 10^{-5}$ Todesfälle pro



Person und Jahr betragen darf.

An anderer Stelle wird das gesellschaftlich akzeptierte Todesfallrisiko abhängig vom Grad der Freiwilligkeit und möglichen Einflussnahme auf die Handlung dargestellt /1.7/. Die Akzeptanz sinkt, wenn zum einen die Möglichkeit sich durch adäquates Handeln zu schützen gegen Null geht und zum anderen sich die Person nicht freiwillig der Gefährdung aussetzt. Der unter diesen Randbedingungen definierte Grenzwert liegt bei $1 \cdot 10^{-5}$ Todesfällen pro Person und Jahr und entspricht damit dem definierten MEM-Kriterium.

Betrachtet man das Risiko in der Nähe einer WEA durch Eisfall, Eiswurf oder Bauteilversagen tödlich zu verunglücken, begibt man sich in der Regel weder freiwillig in diese Lage noch hat man durch persönliche Einflussnahme eine Möglichkeit das Risiko nennenswert zu minimieren. Der Ansatz des MEM-Kriteriums ist daher an dieser Stelle gerechtfertigt und sinnvoll.

Damit liegt eine inakzeptable Gefährdung durch Eiswurf, Eisfall oder Bauteilver-sagen nur vor, wenn der so definierte Grenzwert überschritten wird.

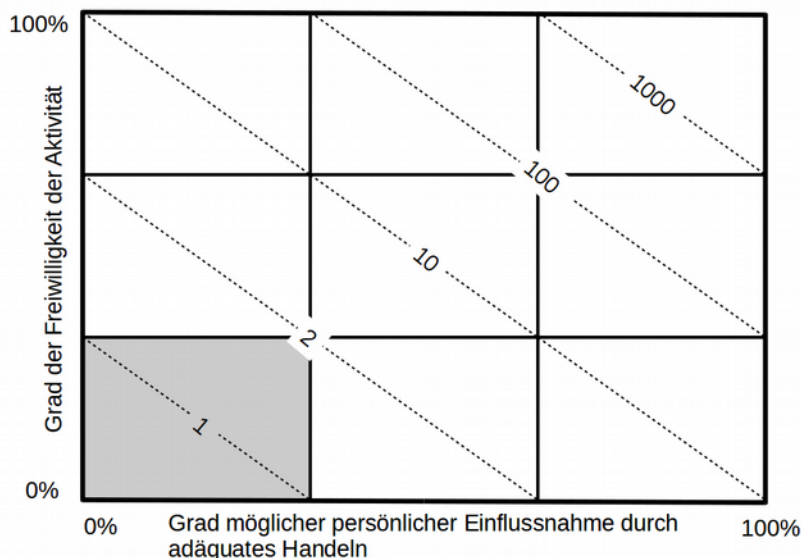


Abbildung 2.8.1.1: Akzeptiertes Todesfallrisiko pro 100 000 Personen /10/. Grau hinterlegter Bereich entspricht dem MEM-Kriterium /5/.

Um hier eine konservative Vorgehensweise zu gewährleisten, werden bezüglich des Eisfall/Eiswurf-Risikos folgende Annahmen getroffen:

- Ein Eisstück, das eine ungeschützte Person außerhalb eines Fahrzeuges oder Gebäudes im Bereich des Kopfes trifft, führt immer zu einer schweren Verletzung oder zum Tode.
- Ein Eisstück, das direkt auf ein Fahrzeug im Bereich der Frontscheibe auftrifft,



führt stets zu einer schweren Verletzung oder zum Tode der Insassen. Die durchschnittliche Anzahl von Personen in einem Kraftfahrzeug ist statistisch erfasst /1.6/, so dass sich hieraus eine Anzahl betroffener Personen ableiten lässt.

Mit dem Ausschluss leichter Verletzungen, der fehlenden Unterscheidung zwischen schweren und tödlichen Verletzungen wird hier ein konservativer Ansatz gewählt. Eine weitere Differenzierung gestaltet sich an dieser Stelle sehr schwierig und lässt sich statistisch zurzeit nicht ausreichend absichern.

2.8.2 Grenzwerte kollektives Risiko

Bei der Bewertung von Schutzobjekten, bei denen sich eine größere Anzahl von Personen in der Nähe der WEA aufhält, wie es typischerweise bei Verkehrswegen der Fall ist, ist gemäß /2.1/ das daraus resultierende Kollektivrisiko zu bewerten. Entsprechende Grenzwerte für das Kollektivrisiko werden in /2.1/ definiert. Diese liegen für das Kollektivrisiko zwei Größenordnungen oberhalb des MEM-Kriteriums /2.1/ und somit bei $1 \cdot 10^{-3}$ Todesfällen pro Jahr.

Gemäß /2.1/ kann für das Risiko im Straßenverkehr der Grenzwert für das kollektive Risiko basierend auf vorliegenden Unfallstatistiken ermittelt werden. Diese Vorgehensweise findet Anwendung für Straßen des Fernverkehrs und angeschlossene Straßen, die dem Durchgangsverkehr dienen. Dies sind in Deutschland die Bundesautobahnen, die Bundesstraßen und die Landesstraßen.

Das aktuelle Risiko ist dabei auf Basis der Todesfälle und der Schwerverletzten im Straßenverkehr zu ermitteln. Entsprechend der grundsätzlichen Idee des MEM-Kriteriums wird auch hier gefordert, dass ein bestehendes Risiko nicht nennenswert erhöht werden darf. Der anzusetzende Grenzwert für eine inakzeptable Gefährdung wird daher eine Größenordnung niedriger gewählt als das bestehende Risiko /2.1/.

Mit /1.3/ liegen entsprechende Unfallzahlen für Kfz-Benutzer gegliedert nach Straßenklasse, Ortslage und Unfallfolge vor. Tabelle 2.8.2.1 listet die entsprechenden absoluten Unfallzahlen pro Jahr für die betreffenden Straßengruppen.

Tabelle 2.8.2.1: Verunglückte Kfz-Benutzer gegliedert nach Straßenklasse pro Jahr /1.3/.

Straßenklasse	Getötete	Schwerverletzte
Bundesautobahn	344	5673
Bundesstraße (außerorts)	640	7742
Landesstraße (außerorts)	646	9210



In Verbindung mit der Inlandsfahrleistung auf den verschiedenen Straßenklassen lassen sich daraus die bestehenden Risiken bezogen auf die gefahrene Strecke bestimmen. Damit ist es möglich abhängig von der Verkehrsdichte straßenspezifische Risikowerte festzulegen. Die Streckenlänge ist dabei so festzulegen, dass jeweils nur eine WEA zur Gefährdung beitragen kann, um auch hier zu gewährleisten, dass das von jeder WEA ausgehende Risiko unabhängig bewertet werden kann. Die so standortspezifisch ermittelten Risikogrenzwerte werden bei Bedarf in Kapitel 3 dargestellt. Für alle anderen Straßenklassen kann der oben definierte Grenzwert für das Kollektivrisiko von $1 \cdot 10^{-3}$ zugrunde gelegt werden.

2.8.3 Risikobewertung

Im Folgenden wird in allen Fällen das individuelle Risiko und das kollektive Risiko ermittelt. Anschließend wird in Abhängigkeit von der Aufenthaltshäufigkeit von Personen das individuelle oder kollektive Risiko für eine Bewertung zugrunde gelegt. In Anlehnung an /2.1/ kann dabei folgende Aufteilung verwendet werden:

- Individuelles Risiko:
 - land- und forstwirtschaftlich genutzte Wege, Wanderwege, Fahrradwege und Straßen mit geringer Verkehrsdichte,
 - Objekte wie Scheunen, Hütten etc., die regelmäßig durch den Besitzer oder durch einen kleinen Personenkreis genutzt werden.
- Kollektives Risiko:
 - stark genutzte Gemeindestraßen, Kreisstraßen, Landesstraßen, Bundesstraßen und Autobahnen,
 - Objekte, die von generellem Interesse für die Öffentlichkeit sind und entsprechend durch eine größere Personengruppe genutzt werden (öffentliche Parkplätze, Industrieanlagen etc.).

Entsprechend dem Vorgehen der UK Health and Safety Executive (HSE) /1.9/ werden in /2.1/ unterhalb des inakzeptablen Bereiches weitere Risikobereiche definiert, die unterschiedliche Maßnahmen erfordern.

Das MEM-Kriterium definiert für das individuelle Risiko dabei die Obergrenze des sogenannten ALARP-Bereichs (As Low As Reasonably Practicable, s. Abbildung 2.8.3.1). Risiken die höher als das MEM-Kriterium liegen, sind demnach nicht akzeptabel.

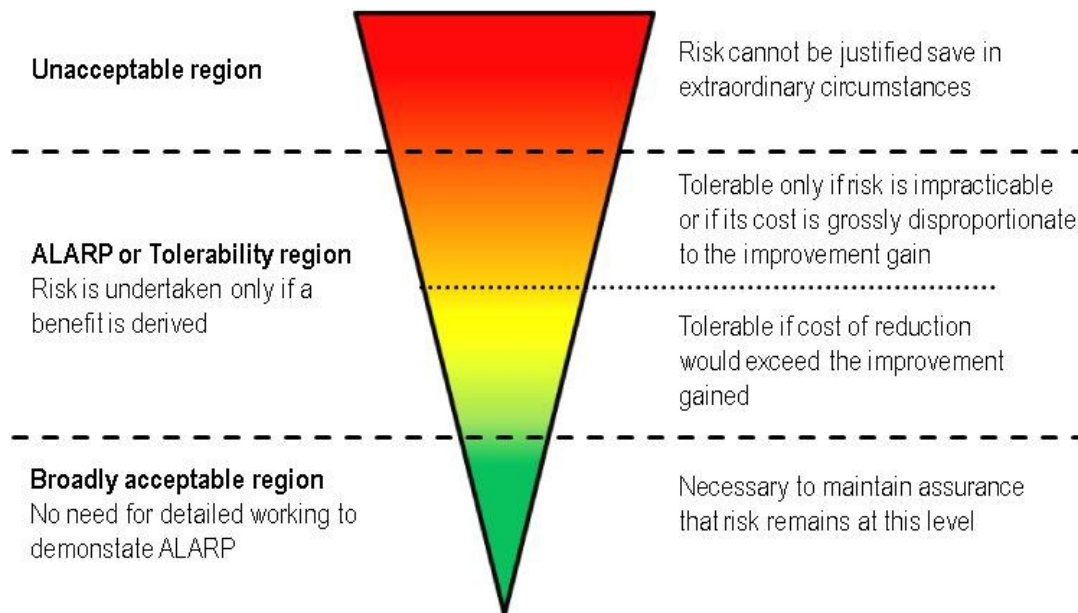


Abbildung 2.8.3.1: ALARP-Prinzip /13/. Die Grenze zum roten inakzeptablen Bereich wird für das individuelle Risiko durch das MEM-Kriterium /5/ definiert.

Darunter folgt der ALARP-Bereich, welcher sich über zwei Größenordnungen der Risikowerte erstreckt.

Liegt das Risiko im oberen ALARP-Bereich, sollen Maßnahmen in Betracht gezogen werden, um das Risiko weiter zu reduzieren. Die Maßnahmen sollten sich an den bekannten und etablierten Techniken und den am Standort gegebenen Möglichkeiten orientieren.

Liegt das Risiko im unteren ALARP-Bereich, sind Maßnahmen zur Reduzierung des Risikos in der Regel nicht erforderlich. Im Rahmen des Gutachtens werden entsprechend nur im Einzelfall Maßnahmen vorgeschlagen.

Liegt das Risiko mehr als zwei Größenordnungen unterhalb des MEM-Kriteriums, ist es ohne weitere Maßnahmen uneingeschränkt akzeptabel.

Bei der Bewertung der individuellen und kollektiven Risiken wird entsprechend zwischen den vier in Tabelle 2.8.3.1 genannten Bereichen unterschieden:



Table 2.8.3.1: Risikobereiche für das individuelle und kollektive Risiko nach /2.1/.

Individuelles Risiko	Kollektives Risiko	Bewertung
$> 10^{-5}$	$> 10^{-3}$ oder standortspezifisch	Roter Bereich: Risiko inakzeptabel - Maßnahmen sind einzuleiten und deren Nutzen nachzuweisen
10^{-6} bis 10^{-5}	10^{-4} bis 10^{-3} oder standortspezifisch	Oranger Bereich: Risiko akzeptabel - Maßnahmen sind in Betracht zu ziehen
10^{-7} bis 10^{-6}	10^{-5} bis 10^{-4} oder standortspezifisch	Gelber Bereich: Risiko akzeptabel - Maßnahmen in der Regel nicht erforderlich
$< 10^{-7}$	$< 10^{-5}$ oder standortspezifisch	Grüner Bereich: Risiko uneingeschränkt akzeptabel

Liegt das Risiko im inakzeptablen roten Bereich, ist ein Nachweis erforderlich, dass das Risiko durch geeignete Maßnahmen in den ALARP-Bereich verschoben werden kann. Gemäß /2.1/ kommen insbesondere folgende Maßnahmen in Frage, um das Risiko in den ALARP-Bereich zu verschieben:

- Fixierung der Azimut-Position des Rotors der WEA nach Abschaltung durch die Eiserkennung,
- Installation eines Systems zur Erkennung von strukturellen Schäden an den Rotorblättern ,
- Wahl eines kleineren WEA-Typs,
- Verschiebung der WEA,
- Verlegung des betroffenen Schutzobjektes.

In allen Fällen ist durch eine erneute Berechnung nachzuweisen, dass das Risiko anschließend nicht mehr im roten inakzeptablen Bereich liegt /2.1/.

Liegt das Risiko im oberen orangen ALARP-Bereich sind etablierte risikomindernde Maßnahmen umzusetzen. Zu den empfohlenen Maßnahmen zählen:

- Fixierung der Azimut-Position des Rotors der WEA nach Abschaltung durch die Eiserkennung, wenn dies aufgrund der Lage der Schutzobjekte möglich und sinnvoll ist,
- Einsatz einer funktionssicheren Eiserkennung,
- Warnschilder,
- Warnleuchten, die mit dem Eiserkennungssystem der WEA gekoppelt sind,



- Physische Barrieren wie Schranken sofern dies vor Ort umgesetzt werden kann.

Die Auswahl der Maßnahmen sollte sich an den bekannten und etablierten Techniken und den am Standort gegebenen Möglichkeiten orientieren.

Da Sachschäden hier in ihrer Schwere gegenüber Personenschäden vernachlässigbar sind, werden diese in der Regel nicht weiter bewertet und in den Detailergebnissen im Anhang nicht dargestellt.

2.8.4 Addition von Risiken

Die Risiken durch Eiswurf/Eisfall und durch Bauteilversagen sind grundsätzlich zu addieren und gemeinsam zu betrachten und zu bewerten.

Entlang von Verkehrswegen kann weiterhin in der Regel nicht ausgeschlossen werden, dass einzelne oder alle Personen mehrere WEA passieren und damit einer Summe von Risiken ausgesetzt sind.

Dies spielt für den überregionalen Verkehr keine Rolle, da hier mit Grenzwerten verglichen wird, die auf die gefahrene Strecke bezogen sind (siehe Kapitel 2.8.2).

WEA an Autobahnen, Bundesstraßen und Landesstraßen können daher stets einzeln betrachtet werden. Hier sind benachbarte WEA nur dann von Interesse, wenn sich die Gefährdungsbereiche der zu betrachtenden WEA und einer benachbarten WEA überlappen. Dasselbe gilt für die Risikobewertung von Schäden an Erdöl- und Erdgasleitungen, da auch hier die Grenzwerte auf die Leitungslänge bezogen werden.

Bei der Bewertung von Verkehrswegen des regionalen bzw. des Nahverkehrs werden die akzeptierten Grenzwerte für das individuelle bzw. kollektive Risiko herangezogen. Für Kreisstraßen, Gemeindestraßen und sonstige Verkehrswege ist daher zu prüfen, ob die übliche Nutzung dazu führt, dass die Gefährdungsbereiche mehrerer WEA passiert werden. Diese Betrachtung kann aufgrund des regionalen Charakters dieser Verkehrswege dabei auf den zu betrachtenden Windpark beschränkt werden.

In einem verzweigten Verkehrswegenetz innerhalb eines Windparks gibt es eine Vielzahl von Routen, die nicht alle betrachtet werden können. Es ist hier ausreichend eine repräsentative Route zu wählen, die eine konservative Bewertung gewährleistet.

In der Praxis kann für Verkehrswege des regionalen bzw. des Nahverkehrs folgendermaßen vorgegangen werden:

- Im ersten Schritt werden die Risiken ausgehend von jeder einzelnen WEA und bezogen auf die verschiedenen Schutzobjekte ermittelt. Wenn einzelne Risiken














hier bereits im oberen ALARP-Bereich liegen, werden die entsprechenden Maßnahmen abgeleitet (siehe auch Kapitel 2.8.3)

- Im zweiten Schritt wird eine repräsentative Route festgelegt und hierfür das Risiko ermittelt und bewertet. Eventuell sind hieraus weitere risikomindernde Maßnahmen abzuleiten.
- Auf den zweiten Schritt kann verzichtet werden, wenn die Summe der Risiken über alle WEA die jeweils anzusetzenden Grenzwerte für das individuelle bzw. kollektive Risiko nicht übersteigen.

Es ergeben sich folgende Begriffe und Symbole, die im Zusammenhang mit WEA im Gutachten verwendet werden:

Tabelle 2.8.4.1: Erläuterung der verwendeten Begriffe und Symbole.

Erläuterung der Begriffe		
	„geplante WEA“	WEA, deren Risiko im Rahmen des Gutachtens zu bewerten ist.
 	„benachbarte WEA“	Alle weiteren WEA, die vom Auftraggeber übermittelt wurden. Es ist dabei unerheblich, ob sich einzelne benachbarte WEA ebenfalls in Planung oder Bau befinden. Entscheidend ist die Windparkkonfiguration, die als Vorbelastung für die geplanten WEA zu unterstellen ist. Alle benachbarten WEA sind in Tabelle 3.2.1 aufgeführt.
	„Referenzpunkt der Winddaten“	Jeweiliger Standort, auf dessen Koordinaten sich die verwendeten Winddaten beziehen.
Farbliche Zuordnung der Symbole		
	Zu betrachtende WEA: geplante WEA, deren Risiko bewertet wird.	
	Zu berücksichtigende WEA: Benachbarte WEA, die aufgrund ihres Abstandes zu den geplanten WEA Einfluss auf das Risiko im Gefährdungsbereich der zu betrachtenden WEA () nehmen bzw. aufgrund der Nutzung der Schutzobjekte innerhalb des Windparks zu berücksichtigen sind.	
	Benachbarte WEA, die aufgrund ihres Abstandes zu den geplanten WEA und ihrer Lage im Windpark nicht bei der Bewertung des Risikos der zu betrachtenden WEA () zu berücksichtigen sind. Diese WEA sind eventuell nur zum Teil in Abbildung 3.1.2 dargestellt.	
	Referenzpunkte der Winddaten.	
	Referenzpunkt der Winddaten auf den Koordinaten einer (in diesem Fall geplanten) WEA.	



3 Eingangsdaten

3.1 Windparkkonfiguration und Schutzobjekte

Am Standort Züssow (Mecklenburg-Vorpommern) plant der Auftraggeber die Errichtung von 17 Windenergieanlagen (WEA 1 - 17).

Die vom Auftraggeber übermittelten Daten zur Windparkkonfiguration sind in Tabelle 3.1.2 bzw. Abbildung 3.1.2 dargestellt.

In der Umgebung befinden sich die Bundesstraße B111, die Kreisstraße K15, die Gemeindeverbindungsstraße Am Felde und eine weitere Gemeindeverbindungsstraße, welche im Rahmen dieser Untersuchung als Schutzobjekte definiert wurden (siehe Abbildung 3.1.1).

Die WEA 1 - 5, 7 - 12 und 14 - 17 liegen in unmittelbarer Nähe zu den Schutzobjekten und werden im Folgenden hinsichtlich einer Gefährdung durch Bauteilversagen betrachtet.

Die WEA 1, 2, 4, 7, 9 - 12, 14 und 17 liegen in unmittelbarer Nähe zu den Schutzobjekten und werden im Folgenden hinsichtlich einer Gefährdung durch Eiswurf/Eisfall betrachtet.

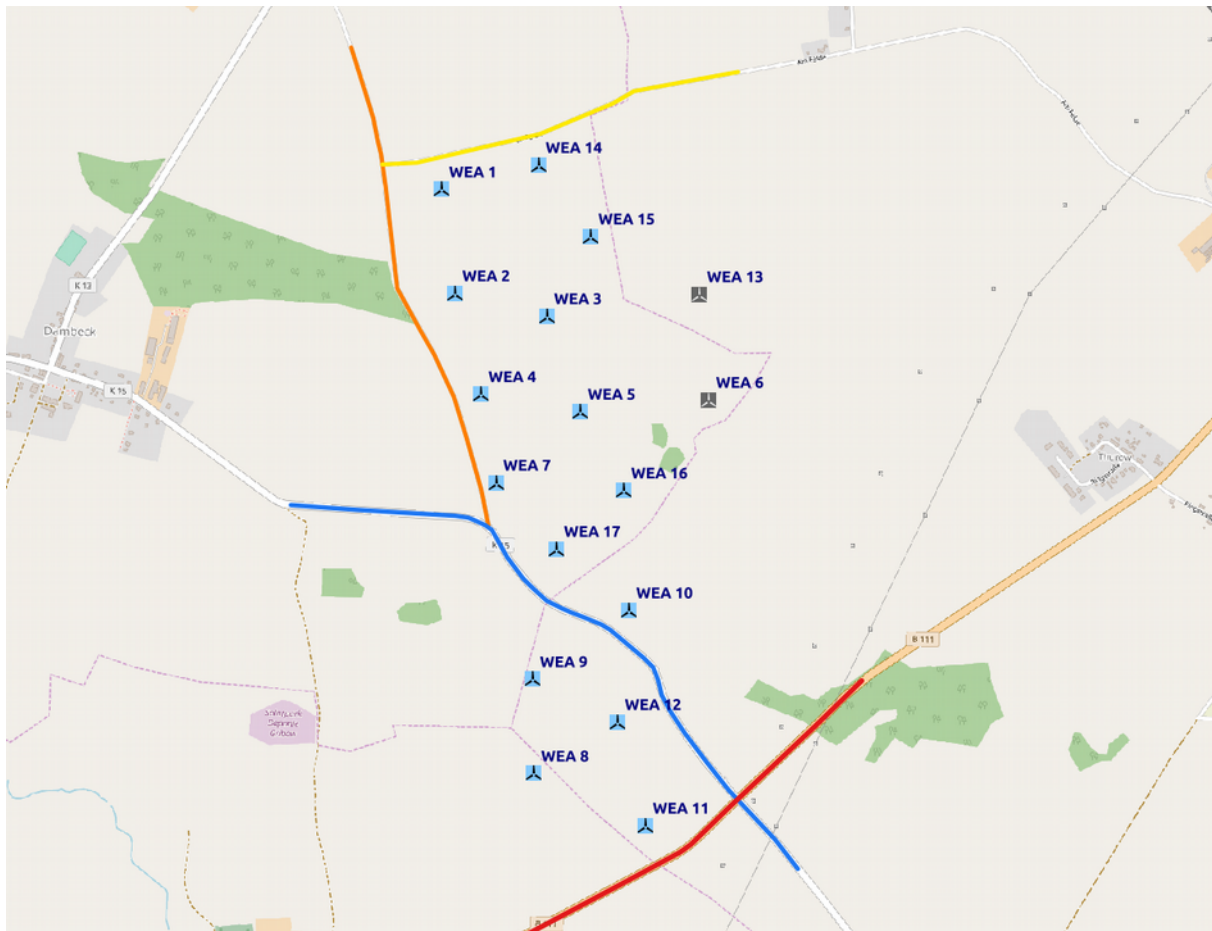


Abbildung 3.1.1: Betrachtete Schutzobjekte (B111: rot, K15: blau, Am Felde: gelb, weitere Gemeindeverbindungsstraße: orange) in der Umgebung der WEA 1 - 17 am Standort Züssow (Karte /1.4/).

Folgende Abstände wurden für die betreffenden WEA ermittelt:

Tabelle 3.1.1: Abstände zu den Schutzobjekten.

	Lfd.Nr. WEA	Schutzobjekt	Abstand [m]
☐	1	Am Felde	~100
		weitere Gemeindeverbindungsstraße	~180
☐	2	weitere Gemeindeverbindungsstraße	~155
☐	3	weitere Gemeindeverbindungsstraße	~390
☐	4	weitere Gemeindeverbindungsstraße	~85
☐	5	weitere Gemeindeverbindungsstraße	~385
☐	7	K15	~140




















		weitere Gemeindeverbindungsstraße	~50
	8	B111	~460
	9	K15	~250
	10	K15	~85
	11	B111	~130
		K15	~285
	12	K15	~170
	14	Am Felde	~95
	15	Am Felde	~375
	16	K15	~440
	17	K15	~145
		weitere Gemeindeverbindungsstraße	~235

Aus dem Vergleich mit den Wurfweiten entsprechend Tabelle 2.3.1 ergibt sich für die zu betrachtenden WEA:

- Eine Gefährdung durch Verlust der Gondel bzw. des Rotors ist für die WEA 7 zu unterstellen.
- Eine Gefährdung durch ein Versagen des Turmes ist für die WEA 1, 2, 4, 7, 10, 11, 12, 14 und 17 zu unterstellen.
- Eine Gefährdung durch Abwurf eines ganzen Rotorblattes ist für die WEA 1, 4, 7, 10, 11, 14 und 17 zu unterstellen. Da die Wurfweiten für Blattbruchstücke deutlich größer sein können, ist eine Gefährdung durch Blattbruch auch für größere Bruchstücke für alle betrachteten WEA zu unterstellen.

Alle Benennungen von WEA im Dokument beziehen sich auf die Nomenklatur von Spalte 2 (Lfd. Nr.) in Tabelle 3.1.2.

Tabelle 3.1.2: Windparkkonfiguratio

	Lfd.Nr. WEA	Bezeichnung	Koordinaten (UTM WGS84 Zone 33)		Hersteller	WEA-Typ	P _N [MW]	RD [m]	NH [m]
			East	North					
	1	WEA01	401477	5981872	Lagerwey	L147	4.3	147.0	155.1
	2	WEA02	401521	5981527	Lagerwey	L147	4.3	147.0	155.1
	3	WEA03	401826	5981451	Lagerwey	L147	4.3	147.0	155.1
	4	WEA04	401608	5981192	Lagerwey	L147	4.3	147.0	155.1
	5	WEA05	401938	5981134	Lagerwey	L147	4.3	147.0	155.1
	6	WEA06	402364	5981173	Lagerwey	L147	4.3	147.0	155.1
	7	WEA07	401657	5980898	Lagerwey	L147	4.3	147.0	155.1
	8	WEA08	401783	5979932	Lagerwey	L147	4.3	147.0	155.1
	9	WEA09	401779	5980245	Lagerwey	L147	4.3	147.0	155.1
	10	WEA12	402099	5980474	Lagerwey	L147	4.3	147.0	155.1
	11	WEA13	402154	5979759	Lagerwey	L147	4.3	147.0	155.1
	12	WEA14	402061	5980103	Lagerwey	L147	4.3	147.0	155.1
	13	WEA17	402334	5981524	Lagerwey	L147	4.3	147.0	155.1
	14	WEA18	401798	5981953	Lagerwey	L147	4.3	147.0	155.1
	15	WEA19	401973	5981716	Lagerwey	L147	4.3	147.0	155.1
	16	WEA20	402082	5980872	Lagerwey	L147	4.3	147.0	155.1
	17	WEA21	401859	5980678	Lagerwey	L147	4.3	147.0	155.1

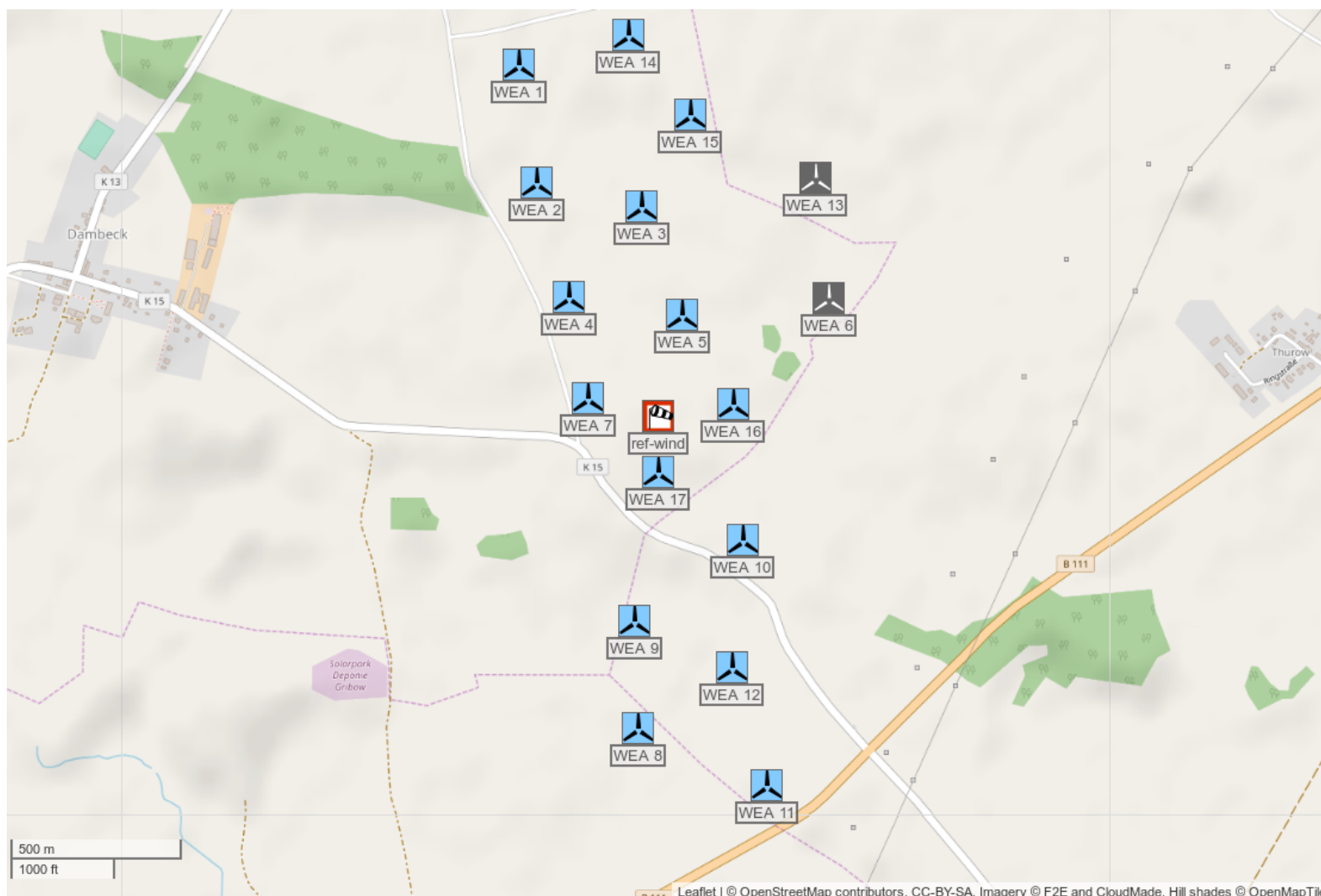






Abbildung 3.1.2:
Lage des Standortes,
Karte /1.4/.

-  zu betrachtende WEA
-  zu berücksichtigende WEA
-  weitere WEA
-  Referenzpunkt der Winddaten



3.2 Winddaten am Standort

Die relativen Häufigkeiten der Windrichtung und Windgeschwindigkeiten am Standort wurden /3.1/ entnommen. Datengrundlage zur Abschätzung des Windpotentials am Standort Züssow bilden die Daten des anemos Windatlas für Deutschland mit einer räumlichen Auflösung von 3km und einer zeitlichen Auflösung von 10 Minuten. Der Referenzzeitraum deckt 20 Jahre von 1999 - 2018 ab /3.1/.

Entsprechend den Empfehlungen aus /2.1/ wurden die Daten für Perioden gefiltert, bei denen Eiswurf oder Eisfall potentiell auftreten kann. Die Daten sind in Tabelle 3.2.1 aufgetragen und werden als richtig und repräsentativ für die freie Anströmung bei potentiellen Vereisungsbedingungen am Standort Züssow vorausgesetzt.

Tabelle 3.2.1: Winddaten am Standort (f: Häufigkeit der Windrichtung; A und k: Skalen- und Formparameter der Weibull-Verteilung).

Ref.-Pkt.		N	NNO	ONO	O	OSO	SSO	S	SSW	WSW	W	WNW	NNW	Ges.
Wind 1	A	6.42	6.18	7.09	7.53	8.00	8.51	8.59	9.09	9.96	10.66	9.29	7.33	8.75
	k	2.23	2.12	2.50	2.59	2.68	2.73	2.65	2.79	3.05	2.86	2.53	2.27	2.43
	f	0.043	0.039	0.064	0.071	0.072	0.073	0.070	0.095	0.147	0.154	0.118	0.056	1.000
Wind 2	A	7.50	7.16	7.39	8.30	8.69	9.01	9.10	8.74	9.32	9.80	8.92	7.89	8.67
	k	2.42	2.46	2.57	3.08	3.09	3.24	3.18	2.71	3.23	2.58	2.44	2.35	2.71
	f	0.055	0.052	0.070	0.089	0.102	0.097	0.082	0.086	0.114	0.108	0.084	0.061	1.000
Bezugswerte														
Koordinaten des Referenzpunktes (UTM ETRS89/WGS84 Zone 33)								East				North		
Wind 1 (ungefiltert)								401860				5980842		
Wind 2 (gefiltert nach Vereisungsperioden)														
Höhe über Grund h								155.1m						

Die Parameter der Weibull-Verteilung werden genutzt, um die Häufigkeitsverteilung der Windrichtungen auf die jeweiligen Windgeschwindigkeiten umzurechnen.

3.3 Aufenthaltshäufigkeiten

Nach /3.2/ wurde am Zählpunkt 0169 auf der Bundesstraße B111 zwischen Gützkow und Züssow eine Verkehrsbelastung von 5569 Kfz pro Tag ermittelt. Auf Grund von Straßenbeschaffenheit und -verlauf wird davon ausgegangen, dass die Fahrzeug-Geschwindigkeit bei 100 Kilometern pro Stunde liegt.



Auf der Kreisstraße K15 zwischen der B111 und Dambeck existiert kein Zählpunkt. Im Folgenden wird von einem Verkehrsaufkommen von 1000 Kfz pro Tag auf der K15 ausgegangen. Auf Grund von Straßenbeschaffenheit und -verlauf wird davon ausgegangen, dass die Fahrzeug-Geschwindigkeit bei 70 Kilometern pro Stunde liegt.

Auf den Gemeindeverbindungsstraßen wird im Folgenden von einem Verkehrsaufkommen von 50 Kfz ausgegangen. Aufgrund der Nutzung wird hier von einer mittleren Fahrzeug-Geschwindigkeit von 50 Kilometern pro Stunde ausgegangen.

3.4 Standortspezifische Grenzwerte für das kollektive Risiko

Für Bundesautobahnen, Bundesstraßen und Landesstraßen, wurden die Grenzwerte auf Basis des vorhandenen Unfallrisikos bestimmt (siehe Kapitel 2.8.2). Tabelle 3.4.1 listet die ermittelten oberen Grenzwerte für ein inakzeptables Risiko. Die weiteren Risikobereiche gemäß Tabelle 2.8.3.1 liegen jeweils eine Zehnerpotenz niedriger und sind nicht extra aufgeführt.

Tabelle 3.4.1: Spezifische obere Risikogrenzwerte für das kollektive Risiko.

Schutzobjekt	Kollektives Personenrisiko Grenzwert für ein inakzeptables Risiko
Bundesstraße B111	$> 5.04 \cdot 10^{-3}$ (einmal in 198 Jahren)

Für Kreisstraßen und sonstige Straßen, für die das kollektive Risiko maßgeblich ist, gilt der pauschale Grenzwert für das kollektive Personenrisiko von $1.0 \cdot 10^{-3}$ (siehe Kapitel 2.8.2).

3.5 Eiserkennung

3.5.1 Eiserkennungssystem

Die WEA 1, 2, 4, 7, 9 - 12, 14 und 17 werden entweder mit dem Eiserkennungssystem Labkotec der Firma Labkotec Oy oder dem Eiserkennungssystem IDD.Blade der Firma Wölfel ausgestattet.

Bei dem Eiserkennungssystem Labkotec wird Eisansatz aufgrund der Veränderung des Ultraschallsignals des auf der Gondel montierten Sensors detektiert /3.3/.

Die Bewertung der Funktionssicherheit dieser Systeme ist nicht Bestandteil des



Gutachtens. In /3.4, 3.5/ wurde jedoch die Funktionalität und grundsätzliche Eignung geprüft. Danach ist Labkotec als Eiserkennungssystem für Windenergieanlagen allgemein geeignet. Labkotec ist in der Lage Vereisung innerhalb von Wolken, sowie Vereisung auf Grund von gefrierendem Regen zu detektieren.

Die Aussagen in /3.5/ beziehen sich dabei auf die Standard-Einstellungen für den "ice alarm level". Dieser Einstellwert liegt gemäß /3.5/ bei 50 auf einer Skala von 0 bis 100, wobei höhere Werte eine höhere Sensitivität und damit ein schnelleres Ansprechen des Alarms bedeuten. Für geringere Einstellwerte als 50 für den "ice alarm level" werden in /3.5/ keine Aussagen getroffen.

Bei dem Eiserkennungssystem IDD.Blade wird Eisansatz aufgrund der dadurch veränderten bauteilcharakteristischen Kennwerte wie der Eigenfrequenz des Rotorblattes detektiert /3.6/.

Das System IDD.Blade zur Eiserkennung ist entsprechend der Richtlinie des Germanischen Lloyd für die Zertifizierung von Systemen zur Zustandsüberwachung von Windenergieanlagen /2.5/ typgeprüft /3.7/.

3.5.2 Zustand nach Abschaltung

Nach einer Abschaltung durch das Eiserkennungssystem geht die WEA in einen definierten Zustand. Angaben zu Trudeldrehzahlen, Blattstellung und Windnachführung der WEA wurden gemäß /3.8/ umgesetzt.

3.5.3 Azimut-Position bei Stillstand

Die WEA können nach einer Abschaltung durch die Eiserkennung in eine fixe Azimut-Position gefahren werden. Damit kann die Trefferhäufigkeit von Eisstücken auf die Schutzobjekte verringert werden, indem im Falle eines Verkehrsweges z.B. der Rotor parallel zum Fahrbahnrand ausgerichtet wird. Die Azimut-Position wird dabei definiert über den Azimutwinkel zwischen geografisch Nord und der Achsenrichtung der WEA.

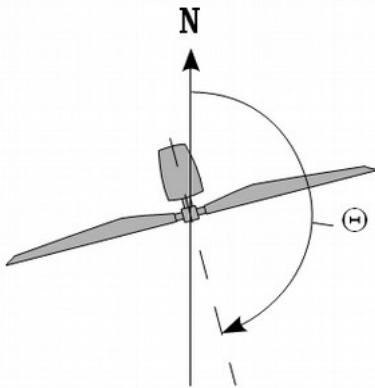


Abbildung 3.5.3.1: Definition des Azimutwinkels Θ .

In den in Anhang B dargestellten Ergebnissen wurden keine festen Azimut-Positionen nach Eisabschaltung berücksichtigt.

4 Durchgeführte Untersuchungen

4.1 Standortbesichtigung

Eine Standortbesichtigung ist im Rahmen der Bewertung des Risikos durch Eiswurf, Eisfall und Bauteilversagen nicht durch ein Regelwerk vorgeschrieben oder geregelt. Eine Standortbesichtigung empfiehlt sich, wenn die Situation vor Ort nicht ausreichend bekannt ist.

Im Rahmen der Standortbesichtigung werden die potentiellen Schutzobjekte vor Ort dokumentiert und besichtigt. Es werden Informationen zur Beschaffenheit der Schutzobjekte, wie z.B. Straßenbelag, Geschwindigkeitsbeschränkungen und Fahrverboten bei Verkehrswegen aufgenommen.

Die Standortbesichtigung dient nicht zur Bestimmung der Aufenthaltshäufigkeit von Personen in oder auf Schutzobjekten, der Bestimmung der Frequentierung von Verkehrswegen, der Bestimmung der Klimatologie des Standortes oder der Verifizierung der Windparkkonfiguration.

Die Schutzobjekte vor Ort wurden vom Auftraggeber festgelegt (siehe Kapitel 3.1). Aufgrund der vorhandenen Datenlage zu den Schutzobjekten wurde auf eine Standortbesichtigung verzichtet.

4.2 Vereisungshäufigkeit am Standort

Entsprechend Kapitel 2.5 ergibt sich am Standort Züssow eine Vereisungshäufigkeit von 1.8% entsprechend 6.6 Vereisungstagen pro Jahr.



4.3 Anzahl sich lösender Eisstücke

Die Anzahl der insgesamt am Standort zu unterstellenden Eisstücke ergibt sich aus der Anzahl der Eisstücke pro Vereisungsereignis und der Anzahl der Vereisungstage. Für die WEA ist konservativ davon auszugehen, dass es an allen Vereisungstagen zu einer vollständigen Vereisung der WEA kommt.

In Übereinstimmung mit /2.1/ kann die insgesamt zu berücksichtigende Eismasse abhängig von der Blattgeometrie anhand des Vereisungslastfalles der internationalen Richtlinie für WEA /2.4/ definiert werden. Unter Berücksichtigung der durchschnittlichen Masse der Eisstücke lässt sich daraus eine Anzahl Eisstücke pro Vereisung ableiten. Die Anzahl ist dabei unabhängig davon, ob ein Risiko durch Eisfall oder Eiswurf betrachtet wird, und ergibt im vorliegenden Fall 160.9 Eisstücke pro Vereisung. Damit ergeben sich bei 6.6 Vereisungsfällen insgesamt 1062 Eisstücke pro Jahr.

4.4 Betrachtung der Einzelrisiken

Aus der in Kapitel 4.3 ermittelten Gesamtanzahl von Eisstücken, der Windgeschwindigkeitsverteilung gemäß Tabelle 3.2.1, der Geometrie und Betriebsweise der WEA sowie der Topografie am Standort, ergeben sich in der Umgebung einer WEA für jeden Punkt unterschiedliche Trefferhäufigkeiten von Eisstücken. Hinzu kommen die Trefferhäufigkeiten durch Bauteilversagen. Auf Basis dieser Trefferhäufigkeiten ist die spezifische Gefährdung von Personen abhängig von der Wegstrecke, den die Personen bzw. die mit Personen besetzten Fahrzeuge in der Umgebung der WEA nehmen, der Geschwindigkeit, mit der sie sich fortbewegen sowie der Häufigkeit, mit der ein bestimmter Weg genommen wird. Verkehrswege und andere Freiflächen bzw. Gebäude, die keinen Schutz gegen Eisstücke bieten, unterscheiden sich beim Risiko durch Eiswurf oder Eisfall nur dahingehend, dass die Wegstrecke bei Verkehrswegen deutlich vorgegeben ist, während sie bei Freiflächen typischerweise durch eine allgemeine Aufenthaltshäufigkeit ersetzt wird.

Eine spezifische Gefährdung lässt sich daher nicht in Form einer Gefährdungskarte in der Umgebung einer WEA darstellen, da für jeden Punkt in der Umgebung einer WEA theoretisch unendlich viele Szenarien denkbar sind. Die Gefährdung ist daher stets in Bezug zu einem Schutzobjekt unter Berücksichtigung der genannten Randbedingungen zu ermitteln.



4.4.1 Eiswurf

Aufgrund der vorhandenen zertifizierten Systeme zur Eiserkennung kann der Betrieb bei potentiell gefährlichem Eisansatz ausgeschlossen werden. Damit ergibt sich keine Gefährdung durch Eiswurf von den betrachteten WEA.

4.4.2 Eisfall

Entsprechend Kapitel 2.2 besteht auch bei vorhandener funktionssicherer Eiserkennung stets ein Risiko durch Eisfall in der Umgebung einer WEA. Dieses Risiko ist daher standortspezifisch zu bewerten.

Details zu den Berechnungen sind im Anhang B dargestellt.

4.4.3 Bauteilversagen

Ein Risiko durch Bauteilversagen ist stets entsprechend der in Kapitel 2.3 aufgeführten Eintrittshäufigkeiten zu unterstellen.

Details zu den Berechnungen sind im Anhang A dargestellt.

4.4.4 Ermittlung der Gefährdungsbereiche

Da die Summe der Risiken aller WEA entlang der Gemeindeverbindungsstraßen und die Summe der Risiken aller WEA entlang der K15 die anzusetzenden Grenzwerte nicht übersteigen, ist eine weitere Ermittlung einzelner Gefährdungsbereiche nicht erforderlich (siehe auch Kapitel 2.8.4).

4.5 Bewertung des Gesamtrisikos

Mit den Detailergebnissen für Eiswurf/Eisfall und Bauteilversagen ergeben sich am Standort Züssow folgende Gesamtrisiken:

Tabelle 4.5.1: Kollektive und individuelle Risiken für Personenschäden am Standort Züssow.

Lfd. Nr. WEA	Schutzobjekt	Kollektives Personenrisiko	Individuelles Personenrisiko
Bewertung der einzelnen WEA:			
1	Am Felde	$1.58 \cdot 10^{-5}$ (einmal in 63 000 Jahren)	$4.22 \cdot 10^{-7}$ (einmal in 2.3 Mio. Jahren)
	weitere Gemeindeverbindungsstraße	$1.08 \cdot 10^{-6}$ (einmal in 926 000 Jahren)	$2.88 \cdot 10^{-8}$ (einmal in 34 Mio. Jahren)



Lfd. Nr. WEA	Schutzobjekt	Kollektives Personenrisiko	Individuelles Personenrisiko
2	weitere Gemeindeverbindungsstraße	$2.47 \cdot 10^{-6}$ (einmal in 405 000 Jahren)	$6.58 \cdot 10^{-8}$ (einmal in 15 Mio. Jahren)
4	weitere Gemeindeverbindungsstraße	$1.77 \cdot 10^{-5}$ (einmal in 56 000 Jahren)	$4.72 \cdot 10^{-7}$ (einmal in 2.1 Mio. Jahren)
7	K15	$7.73 \cdot 10^{-5}$ (einmal in 12 000 Jahren)	$1.03 \cdot 10^{-7}$ (einmal in 9.7 Mio. Jahren)
	weitere Gemeindeverbindungsstraße	$5.85 \cdot 10^{-5}$ (einmal in 17 000 Jahren)	$1.56 \cdot 10^{-6}$ <i>(einmal in 641 000 Jahren)</i>
9	K15	$1.74 \cdot 10^{-7}$ (einmal in 5.7 Mio. Jahren)	$2.31 \cdot 10^{-10}$ (einmal in 4.3 Mrd. Jahren)
10	K15	$5.69 \cdot 10^{-4}$ <i>(einmal in 1700 Jahren)</i>	$7.59 \cdot 10^{-7}$ (einmal in 1.3 Mio. Jahren)
11	B111	$2.65 \cdot 10^{-3}$ <i>(einmal in 370 Jahren)</i>	$6.34 \cdot 10^{-7}$ (einmal in 1.5 Mio. Jahren)
	K15	$1.04 \cdot 10^{-7}$ (einmal in 9.5 Mio. Jahren)	$1.39 \cdot 10^{-10}$ (einmal in 7.1 Mrd. Jahren)
12	K15	$1.36 \cdot 10^{-4}$ <i>(einmal in 7300 Jahren)</i>	$1.82 \cdot 10^{-7}$ (einmal in 5.4 Mio. Jahren)
14	Am Felde	$1.78 \cdot 10^{-5}$ (einmal in 56 000 Jahren)	$4.74 \cdot 10^{-7}$ (einmal in 2.1 Mio. Jahren)
17	K15	$1.44 \cdot 10^{-4}$ <i>(einmal in 6900 Jahren)</i>	$1.92 \cdot 10^{-7}$ (einmal in 5.2 Mio. Jahren)
	weitere Gemeindeverbindungsstraße	$2.07 \cdot 10^{-8}$ (einmal in 48 Mio. Jahren)	$5.53 \cdot 10^{-10}$ (einmal in 1.8 Mrd. Jahren)
Bewertung addierter Risiken:			
7, 9, 10, 11, 12, 17	K15	$9.27 \cdot 10^{-4}$ <i>(einmal in 1070 Jahren)</i>	$1.24 \cdot 10^{-6}$ (einmal in 809 000 Jahren)
1, 14	Am Felde	$3.36 \cdot 10^{-5}$ (einmal in 29 000 Jahren)	$8.96 \cdot 10^{-7}$ (einmal in 1.1 Mio. Jahren)
1, 2, 4, 7, 17	weitere Gemeindeverbindungsstraße	$7.98 \cdot 10^{-5}$ (einmal in 12 000 Jahren)	$2.13 \cdot 10^{-6}$ <i>(einmal in 470 000 Jahren)</i>

Die Gefährdungsbereiche der WEA 3, 5, 8, 15 und 16 reichen nicht bis zu den Schutzobjekten. Für die WEA 3, 5, 8, 15 und 16 werden daher keine Risiken dargestellt.

Wie in Kapitel 2.8 dargestellt, erfolgt die Bewertung des individuellen und kollektiven Risikos durch eine Einteilung in vier Bereiche von inakzeptabel bis uneinge-



schränkt akzeptabel. Damit ergeben sich bezogen auf die betrachteten WEA folgende Ergebnisse für das Gesamtrisiko. Es ist in Tabelle 4.5.2 jeweils nur das in Abhängigkeit von der Aufenthaltshäufigkeit von Personen zu betrachtende Risiko dargestellt (siehe Kapitel 2.8).

Tabelle 4.5.2: Gefährdung durch Eiswurf/Eisfall und Bauteilversagen am Standort Züssow.

Gesamtbewertung der einzelnen WEA			
Lfd. Nr. WEA	Schutzobjekt	Kollektives Personenrisiko	Individuelles Personenrisiko
Bewertung der einzelnen WEA:			
1	Am Felde	---	akzeptabel - Maßnahmen in der Regel nicht erforderlich
	weitere Gemeindeverbindungsstraße	---	uneingeschränkt akzeptabel
2	weitere Gemeindeverbindungsstraße	---	uneingeschränkt akzeptabel
4	weitere Gemeindeverbindungsstraße	---	akzeptabel - Maßnahmen in der Regel nicht erforderlich
7	K15	akzeptabel - Maßnahmen in der Regel nicht erforderlich	---
	weitere Gemeindeverbindungsstraße	---	akzeptabel - Maßnahmen sind in Betracht zu ziehen
9	K15	uneingeschränkt akzeptabel	---
10	K15	akzeptabel - Maßnahmen sind in Betracht zu ziehen	---
11	B111	akzeptabel - Maßnahmen sind in Betracht zu ziehen	---
	K15	uneingeschränkt akzeptabel	---
12	K15	akzeptabel - Maßnahmen sind in Betracht zu ziehen	---
14	Am Felde	---	akzeptabel - Maßnahmen in der Regel nicht erforderlich
17	K15	akzeptabel - Maßnahmen sind in Betracht zu ziehen	---
	weitere Gemeindeverbindungsstraße	---	uneingeschränkt akzeptabel



Gesamtbewertung der einzelnen WEA			
Lfd. Nr. WEA	Schutzobjekt	Kollektives Personenrisiko	Individuelles Personenrisiko
Bewertung addierter Risiken:			
7, 9, 10, 11, 12, 17	K15	akzeptabel - Maßnahmen sind in Betracht zu ziehen	---
1, 14	Am Felde	---	akzeptabel - Maßnahmen in der Regel nicht erforderlich
1, 2, 4, 7, 17	weitere Gemeindeverbindungsstraße	---	akzeptabel - Maßnahmen sind in Betracht zu ziehen

Da die Summe der Risiken aller WEA entlang der Gemeindeverbindungsstraßen und die Summe der Risiken aller WEA entlang der K15 die anzusetzenden Grenzwerte nicht übersteigen, ist eine weitere Betrachtung möglicher Routen durch den Windpark und der damit verbundenen Summierung von Risiken nicht erforderlich (siehe auch Kapitel 2.8.4).

5 Weitere Maßnahmen

5.1 Eisfall

Da die für die WEA 7, 10 - 12 und 17 ermittelten Risiken bezüglich der Schutzobjekte im oberen ALARP-Bereich liegen, sind weitere Maßnahmen in Betracht zu ziehen, um das Risiko noch weiter zu senken.

Da die WEA bereits mit einer zertifizierten Eiserkennung ausgerüstet sind, verbleibt als weitere mögliche Maßnahme im vorliegenden Fall eine Ausrichtung der Azimut-Position des Rotors der WEA nach Abschaltung durch die Eiserkennung (siehe Kapitel 2.8).

Für die WEA 7, 10 - 12 und 17 empfehlen wir nach Abschaltung auf Grund von Eisansatz den Rotor der WEA so auszurichten, dass möglichst wenige Eisstücke die jeweiligen Schutzobjekte treffen und entsprechend den Vorgaben des Herstellers die Azimutposition des Rotors bis zur maximal möglichen Windgeschwindigkeit beizubehalten. Die erforderlichen Werte sind in Tabelle 5.1.1 dargestellt (zur Definition des Azimutwinkels siehe Abbildung 3.5.3.1).



Tabelle 5.1.1: *Empfohlene Azimut-Positionen nach Abschaltung auf Grund von Eisansatz für den Rotor der WEA.*

	Azimutwinkel bei Stillstand [°]
WEA 7	251
WEA 10	212
WEA 11	149
WEA 12	59
WEA 17	219

6 Zusammenfassung

Die Fluid & Energy Engineering GmbH & Co. KG ist beauftragt worden, die vorliegende Windparkkonfiguration hinsichtlich einer Gefährdung durch Eiswurf und Eisfall sowie durch Bauteilversagen ausgehend von den stillstehenden (trudelnden) bzw. in Betrieb befindlichen WEA zu betrachten und zu bewerten.

Als Schutzobjekte wurden die Bundesstraße B111, die Kreisstraße K15, die Gemeindeverbindungsstraße Am Felde und eine weitere Gemeindeverbindungsstraße in der Nachbarschaft der WEA definiert.

Eine mögliche Ursache für ein Umstürzen der WEA, einen Absturz des Rotors, einen Absturz der Gondel oder den Verlust des ganzen bzw. Teilen eines Rotorblattes ist ein Brand der WEA. Das durch einen Brand hierdurch verursachte Risiko ist daher in der Risikobetrachtung für das Bauteilversagen enthalten und mit abgedeckt.

Die abschließende Bewertung des Gesamtrisikos ist in Tabelle 6.1 für alle zu betrachtenden WEA bezüglich der relevanten Schutzobjekte dargestellt. Zu berücksichtigende benachbarte WEA (siehe Kapitel 4.4.4) sind in der Bewertung enthalten. Schutzobjekte, die von der jeweiligen WEA nicht getroffen werden, sind in Tabelle 6.1 nicht aufgeführt.

Maßnahmen, die in den Berechnungen berücksichtigt wurden und entsprechend für die getroffene Aussage unabdingbar sind, werden in der Spalte „Maßnahmen - erforderlich“ aufgeführt.

Maßnahmen, die umgesetzt werden sollten, weil das Risiko im oberen ALARP-Bereich (siehe Kapitel 2.8) liegt, werden in der Spalte „Maßnahmen - empfohlen“ aufgeführt.



Table 6.1: Bewertung des Gesamtrisikos.

Lfd. Nr. WEA	Schutzobjekt	Risiko- bewertung	Maßnahmen	
			erforderlich	empfohlen
1	Am Felde	akzeptabel	---	---
	weitere Gemeindeverbindungsstraße	akzeptabel	---	---
2	weitere Gemeindeverbindungsstraße	akzeptabel	---	---
4	weitere Gemeindeverbindungsstraße	akzeptabel	---	---
7	K15	akzeptabel	---	---
	weitere Gemeindeverbindungsstraße	akzeptabel	---	Kapitel 5
9	K15	akzeptabel	---	---
10	K15	akzeptabel	---	Kapitel 5
11	B111	akzeptabel	---	Kapitel 5
	K15	akzeptabel	---	---
12	K15	akzeptabel	---	Kapitel 5
14	Am Felde	akzeptabel	---	---
17	K15	akzeptabel	---	Kapitel 5
	weitere Gemeindeverbindungsstraße	akzeptabel	---	---



7 Formelzeichen und Abkürzungen

WEA	Windenergieanlage	
RD	Rotordurchmesser	
NH	Nabenhöhe	
ETRS89	Europäisches Terrestrisches Referenzsystem 1989	
UTM	Universale Transversale Mercator Projektion	
WGS84	World Geodetic System 1984	
ü. NN	über Normalnull	
MEM	Minimale endogen Sterblichkeit	
Kfz	Kraftfahrzeug	
A	Skalierungsparameter der Weibull-Verteilung	[m/s]
k	Formparameter der Weibullverteilung	[-]
v	Windgeschwindigkeit	[m/s]
h	Höhe	[m]
Θ	Azimutwinkel	[°]



8 Literaturangaben

Allgemein

- /1.1/ Bengt Tammelin et. al.; Wind Energy Production in Cold climates; Meteorological publications No.41, Finnish Meteorological Institute, Helsinki, Finland, February 2000.
- /1.2/ International Energy Agency (IEA), IEA Wind Task 19, State-of-the-Art of Wind Energy in Cold Climates, Edition October 2012.
- /1.3/ Berichte der Bundesanstalt für Straßenwesen; Verkehrstechnik Heft V 291, Fahrleistungserhebung 2014 – Inlandsfahrleistung und Unfallrisiko; Bergisch Gladbach, August 2017.
- /1.4/ OpenStreetMap und Mitwirkende; siehe Internet: <http://www.openstreetmap.org>, <http://opendatacommons.org>, <http://creativecommons.org>.
- /1.5/ Jarvis A., H.I. Reuter, A. Nelson, E. Guevara, 2006, Hole-filled seamless SRTM data V3, International Centre for Tropical Agriculture (CIAT).
- /1.6/ Bundesministerium für Verkehr, Bau und Stadtentwicklung; Mobilität in Deutschland 2008; Ergebnisbericht, Struktur – Aufkommen – Emissionen – Trends; Bonn und Berlin, Februar 2010.
- /1.7/ Schneider J., Schlatter H. P.; Sicherheit und Zuverlässigkeit im Bauwesen - Grundwissen für Ingenieure; 1. Auflage, B. G. Teubner, Stuttgart, 1994.
- /1.8/ Wichura, B., 2013. The Spatial Distribution of Icing in Germany Estimated by the Analysis of Weather Station Data and of Direct Measurements of Icing, Proceedings of the 15th International Workshop On Atmospheric Icing Of Structures (IWAIS 2013). Compusult Ltd., St. John's, Newfoundland and Labrador, September 8-11, 2013, pp. 303-309.
- /1.9/ HSE, Health and safety Executive. (n.d.); Risk analyses or 'predictive' aspects of comah safety reports guidance for explosives sites - The COMAH Safety Report Process for Predictive Assessment of Explosives Sites, downloaded 2014-08-21; Retrieved from <http://www.hse.gov.uk/comah/>
- /1.10/ Bredesen, R. E.; Kjeller Vindteknikk AS; Icethrow from wind turbines - Assessment and risk management; IEA Wind Task 19, Präsentation bei der Winterwind International Wind Energy Conference, Åre 2017.
- /1.11/ C. J. Faasen, P. A. L. Franck, A. M. H. W. Taris; Handboek Risicozonering Windturbines, Eindversie, 3e geactualiseerde versie mei 2013, en Herziene versie 3.1 september 2014; Nederland.
- /1.12/ T. Hahm, J. Kröning; Rotorblattversagen – Gefährdungsanalyse für die Umgebung von Windenergieanlagen; 6. Deutsche Windenergie-Konferenz DEWEK 2002.
- /1.13/ J. Kesenheimer; Grundlagenforschung zur Restnutzungsdauer von Windenergieanlagen; Technische Universität Hamburg-Harburg, April 2003.

Normen

- /2.1/ International Energy Agency (IEA), IEA Wind TCP Task 19; International Recommendations for Ice Fall and Ice Throw Risk Assessments; October 2018.



- /2.2/ Deutsches Institut für Bautechnik (DIBt), Muster-Liste der Technischen Baubestimmungen - Fassung Juni 2015 bzw. Veröffentlichung der Muster-Verwaltungsvorschrift Technische Baubestimmungen, Ausgabe 2017/1.
- /2.3/ DIN EN 50126; Bahnanwendungen – Spezifikation und Nachweis der Zuverlässigkeit, Verfügbarkeit, Instandhaltbarkeit und Sicherheit (RAMS); Deutsches Institut für Normung e.V., März 2000.
- /2.4/ International Electrotechnical Commission (IEC); IEC 61400-1 Ed. 4, Wind turbines - Part 1: Design requirements; 88/521/CD Committee Draft, 22. Oktober 2015.
- /2.5/ Germanischer Lloyd; GL Rules and Guidelines - IV Industrial Services - Part 4; Guideline for the Certification of Condition Monitoring Systems for Wind Turbines, Edition 2013.
- /2.6/ DIN EN ISO 16708; Erdöl- und Erdgasindustrie - Rohrleitungstransportsysteme - Zuverlässigkeitsanalysen (ISO 16708:2006); Englische Fassung EN ISO 16708:2006; Deutsches Institut für Normung e.V., August 2006.

Projektspezifisch

- /3.1/ anemos Gesellschaft für Umweltmeteorologie mbH; anemos Windatlas für Deutschland, <https://awis.anemos.de/>, Winddaten zum Standort Züssow heruntergeladen am 16.07.2019.
- /3.2/ Landesamt für Straßenbau und Verkehr Mecklenburg-Vorpommern; Verkehrsmengenkarte Mecklenburg-Vorpommern 2015.
- /3.3/ Lagerwey Wind BV; Erkennung und Vermeidung von Eisbildung; Dokument-ID: M00-C7-30-050194-R1; 11.07.2017; Barneveld, Niederlande.
- /3.4/ VTT Technical Research Centre of Finland; Pre-certification of Labcotec LID 3300IP ice detector for wind energy applications; Report identification code: VTT-CR-04740-11; 22.06.2011; Espoo, Finland.
- /3.5/ Labcotec Oy; LID-3300IP Eis-Detektor, Eis-Detektor für Windturbinen und Wetterstationen, Montage und Betriebsanleitung; 24.2.2012; Pirkkala, Finnland.
- /3.6/ Wölfel-Gruppe; IDD.Blade® und SHM.Blade® – Rotorblattüberwachung zur effizienten Erkennung von Eis und Strukturschäden, PRO-BR-03-DE-09-2016; Höchberg, 09-2016.
- /3.7/ DNV-GL; Type Certificate, Ice Detection System IDD.BLade; Certificate No. TC-DNVGL-SE-0439-03577-0; Hamburg, 2018-01-27.
- /3.8/ ENERCON GmbH; Angaben zum Trudelbetrieb nach Abschaltung wegen Eisansatz; per E-Mail am 19.03.2019.



Anhang A: Detaillierte Berechnungsergebnisse Bauteilversagen

A.1 Berechnung der Auftreffhäufigkeiten von Blattbruchstücken

Tabelle A.1.1 listet die maximal erreichte Flugweite der Bruchstücke bezogen auf den Fußpunkt der WEA auf.

Tabelle A.1.1: Maximale Flugweite der betrachteten Blattbruchstücke am Standort Züssow.

WEA	Maximale Flugweite [m]
WEA 1	368.4
WEA 2	366.3
WEA 3	366.0
WEA 4	367.3
WEA 5	366.9
WEA 7	367.5
WEA 8	365.9
WEA 9	365.6
WEA 10	366.8
WEA 11	369.0
WEA 12	366.3
WEA 14	366.6
WEA 15	365.9
WEA 16	365.9
WEA 17	366.5

In der Abbildung A.1.1 sind die daraus für die Umgebung der WEA 1 - 5, 7 - 12 und 14 - 15 resultierenden Auftreffhäufigkeiten pro Rasterfläche (25m²) und Jahr dargestellt. Erkennbar sind die größeren Auftreffhäufigkeiten quer zur Hauptwindrichtung.

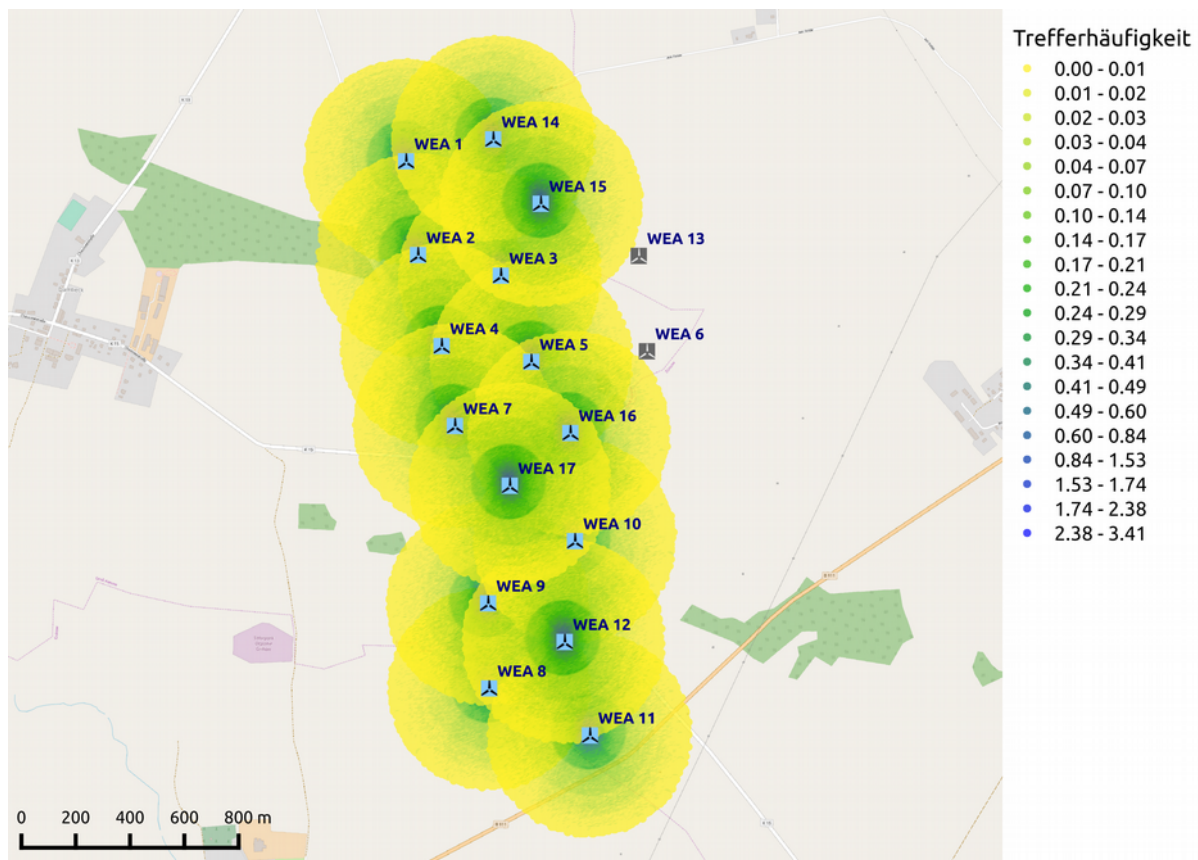


Abbildung A.1.1: Trefferhäufigkeiten von Blattbruchstücken pro Rasterfläche (25m²) in einer Millionen Jahren in der Umgebung der WEA 1 - 5, 7 - 12 und 14 - 15 am Standort Züssow (Karte /1.4/).

A.2 Turmversagen

Der Abstand zu den Schutzobjekten liegt für die WEA 1, 2, 4, 7, 10, 11, 12, 14 und 17 unterhalb des in Tabelle 2.3.1 genannten maximalen Einflussbereiches für den Fall Turmversagen. Eine Gefährdung der Schutzobjekte infolge Turmversagen ist daher für diese WEA zu unterstellen.

A.3 Verlust der Gondel bzw. des Rotors

Der Abstand der Schutzobjekte liegt für die WEA 7 unterhalb des in Tabelle 2.3.1 genannten maximalen Einflussbereiches für einen Verlust der Gondel bzw. des Rotors. Eine Gefährdung der Schutzobjekte durch einen Verlust der Gondel bzw. des Rotors ist daher für diese WEA zu unterstellen.



A.4 Schadenshäufigkeiten

Aus den ermittelten Flugbahnen ergeben sich für die Gefährdungsbereiche der zu betrachtenden WEA gemäß Kapitel 4.4.4 die in Tabelle A.4.1 aufgeführten Auftreffhäufigkeiten für Blattbruchstücke, die in Tabelle A.4.2 aufgeführten Auftreffhäufigkeiten infolge Turmversagens, sowie die in Tabelle A.4.3 aufgeführten Auftreffhäufigkeiten infolge eines Verlustes der Gondel bzw. des Rotors.

Tabelle A.4.1: Auftreffhäufigkeiten von Blattbruchstücken für die Gefährdungsbereiche am Standort Züssow.

Lfd.Nr. WEA	Schutzobjekt	Auftreffhäufigkeit eines Blattbruchstückes pro Jahr
1	Am Felde	$2.15 \cdot 10^{-5}$
	weitere Gemeindeverbindungsstraße	$4.67 \cdot 10^{-6}$
2	weitere Gemeindeverbindungsstraße	$7.16 \cdot 10^{-6}$
4	weitere Gemeindeverbindungsstraße	$2.05 \cdot 10^{-5}$
7	K15	$8.07 \cdot 10^{-6}$
	weitere Gemeindeverbindungsstraße	$3.58 \cdot 10^{-5}$
9	K15	$3.23 \cdot 10^{-6}$
10	K15	$2.37 \cdot 10^{-5}$
11	B111	$1.58 \cdot 10^{-5}$
	K15	$1.94 \cdot 10^{-6}$
12	K15	$7.29 \cdot 10^{-6}$
14	Am Felde	$2.43 \cdot 10^{-5}$
17	K15	$9.64 \cdot 10^{-6}$
	weitere Gemeindeverbindungsstraße	$6.74 \cdot 10^{-7}$

Tabelle A.4.2: Auftreffhäufigkeiten infolge Turmversagen für die Gefährdungsbereiche am Standort Züssow.

Lfd.Nr. WEA	Schutzobjekt	Auftreffhäufigkeit infolge Turmversagens pro Jahr
1	Am Felde	$1.92 \cdot 10^{-5}$



Lfd.Nr. WEA	Schutzobjekt	Auftreffhäufigkeit infolge Turmversagens pro Jahr
	weitere Gemeindeverbindungsstraße	$1.56 \cdot 10^{-6}$
2	weitere Gemeindeverbindungsstraße	$1.79 \cdot 10^{-6}$
4	weitere Gemeindeverbindungsstraße	$2.48 \cdot 10^{-6}$
7	K15	$6.19 \cdot 10^{-7}$
	weitere Gemeindeverbindungsstraße	$3.84 \cdot 10^{-6}$
10	K15	$1.71 \cdot 10^{-6}$
11	B111	$6.94 \cdot 10^{-5}$
12	K15	$8.33 \cdot 10^{-5}$
14	Am Felde	$1.56 \cdot 10^{-5}$
14	K15	$1.86 \cdot 10^{-6}$

Tabelle A.4.3: Auftreffhäufigkeiten infolge von Verlust der Gondel bzw. des Rotors für die Gefährdungsbereiche am Standort Züssow.

Lfd.Nr. WEA	Schutzobjekt	Auftreffhäufigkeit infolge von Verlust der Gondel bzw. des Rotors pro Jahr
7	weitere Gemeindeverbindungsstraße	$1.08 \cdot 10^{-5}$

Für die Bewertung von Personenschäden wird davon ausgegangen, dass jedes Kfz im Mittel mit 1.5 Personen besetzt ist. Dies entspricht der durchschnittlichen Besetzungszahl von Pkw in Deutschland /1.6/. Eine infolge eines Treffers durch Eis resultierende Verkettung von Unfällen wurde nicht betrachtet.

Mit den genannten Ausführungen ergeben sich die in Tabelle A.4.4 aufgelisteten Unfallhäufigkeiten bzw. Risiken.

Das in Abhängigkeit von der Aufenthaltshäufigkeit von Personen zu betrachtende Risiko ist in Tabelle A.4.4 jeweils fett gedruckt.

Relevante Überschreitungen der Risikogrenzwerte gemäß Tabelle 2.8.3.1 bzw. Werte im ALARP-Bereich, die eventuell weitere Maßnahmen erfordern, treten in Tabelle A.4.4 nicht auf.



Table A.4.4: Kollektive und individuelle Risiken für Personenschäden am Standort Züssow durch Blattbruch und Turmversagen.

WEA	Schutzobjekt	Kollektives Personenrisiko	Individuelles Personenrisiko
1	Am Felde	$3.12 \cdot 10^{-7}$ (einmal in 3.2 Mio. Jahren)	$8.33 \cdot 10^{-9}$ (einmal in 120 Mio. Jahren)
	weitere Gemeindeverbindungsstraße	$2.33 \cdot 10^{-8}$ (einmal in 42 Mio. Jahren)	$6.21 \cdot 10^{-10}$ (einmal in 1.6 Mrd. Jahren)
2	weitere Gemeindeverbindungsstraße	$3.20 \cdot 10^{-8}$ (einmal in 31 Mio. Jahren)	$8.54 \cdot 10^{-10}$ (einmal in 1.1 Mrd. Jahren)
4	weitere Gemeindeverbindungsstraße	$1.49 \cdot 10^{-7}$ (einmal in 6.6 Mio. Jahren)	$3.98 \cdot 10^{-9}$ (einmal in 251 Mio. Jahren)
7	K15	$8.09 \cdot 10^{-7}$ (einmal in 1.2 Mio. Jahren)	$1.08 \cdot 10^{-9}$ (einmal in 927 Mio. Jahren)
	weitere Gemeindeverbindungsstraße	$4.21 \cdot 10^{-7}$ (einmal in 2.3 Mio. Jahren)	$1.12 \cdot 10^{-8}$ (einmal in 88 Mio. Jahren)
9	K15	$1.74 \cdot 10^{-7}$ (einmal in 5.7 Mio. Jahren)	$2.31 \cdot 10^{-10}$ (einmal in 4.3 Mrd. Jahren)
10	K15	$2.36 \cdot 10^{-6}$ (einmal in 422 000 Jahren)	$3.15 \cdot 10^{-9}$ (einmal in 317 Mio. Jahren)
11	B111	$4.56 \cdot 10^{-5}$ (einmal in 21 000 Jahren)	$1.09 \cdot 10^{-8}$ (einmal in 91 Mio. Jahren)
	K15	$1.04 \cdot 10^{-7}$ (einmal in 9.5 Mio. Jahren)	$1.39 \cdot 10^{-10}$ (einmal in 7.1 Mrd. Jahren)
12	K15	$7.91 \cdot 10^{-6}$ (einmal in 126 000 Jahren)	$1.05 \cdot 10^{-8}$ (einmal in 94 Mio. Jahren)
14	Am Felde	$2.95 \cdot 10^{-7}$ (einmal in 3.3 Mio. Jahren)	$7.88 \cdot 10^{-9}$ (einmal in 126 Mio. Jahren)
17	K15	$1.11 \cdot 10^{-6}$ (einmal in 901 000 Jahren)	$1.48 \cdot 10^{-9}$ (einmal in 676 Mio. Jahren)
	weitere Gemeindeverbindungsstraße	$1.98 \cdot 10^{-9}$ (einmal in 504 Mio. Jahren)	$5.28 \cdot 10^{-11}$ (einmal in 18 Mrd. Jahren)



Anhang B: Detaillierte Berechnungsergebnisse Eisfall

B.1 Berechnung der Auftreffhäufigkeiten

Tabelle B.1.1 listet die maximal erreichte Flugweite der Bruchstücke bezogen auf den Fußpunkt der WEA auf. Die maximale Flugweite bezieht sich auf ein 99.95% Quantil. Einzelne Eisstücke erreichen größere Flugweite, sind aber für die Risikobewertung nicht relevant und werden auch nicht bei den Trefferhäufigkeiten berücksichtigt.

Tabelle B.1.1: Maximale Flugweite der betrachteten Eisstücke am Standort Züssow.

WEA	Maximale Flugweite [m]	Maximale Flugweite / (Nabenhöhe + Rotordurchmesser)
WEA 1	253.0	0.837
WEA 2	253.4	0.839
WEA 4	253.5	0.839
WEA 7	254.5	0.842
WEA 9	251.7	0.833
WEA 10	255.6	0.846
WEA 11	259.7	0.860
WEA 12	255.6	0.846
WEA 14	255.6	0.846
WEA 17	254.1	0.841

Die Flugweiten erreichen einen Maximalwert vom 0.86fachen aus Nabenhöhe plus Rotordurchmesser der WEA. Sie liegen damit unter dem in /1.1/ bei pauschaler Betrachtung geforderten konservativen Abstand vom 1.5fachen aus Nabenhöhe plus Rotordurchmesser der WEA.

In der Abbildung B.1.1 sind die für die Umgebung der WEA resultierenden Treffer pro 16 Quadratmeter und Jahr dargestellt.

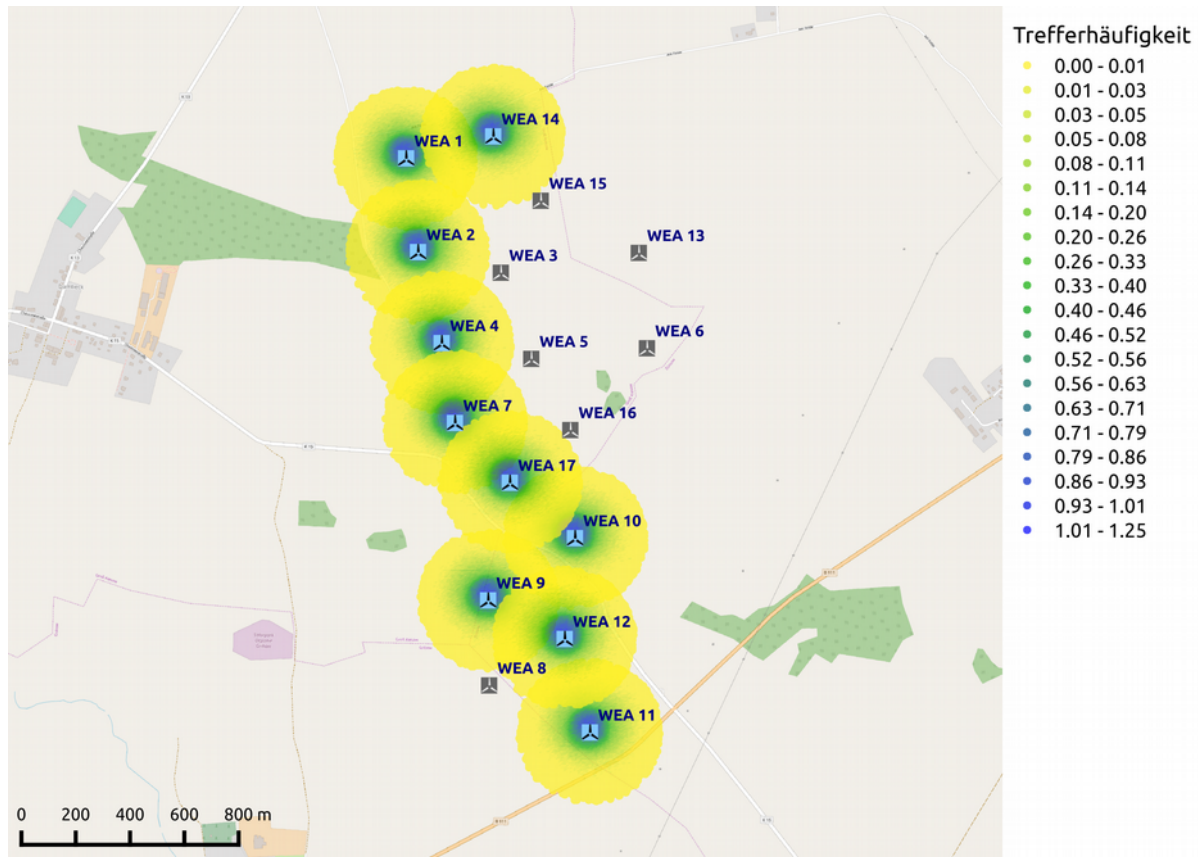


Abbildung B.1.1: Trefferhäufigkeiten von Eisstücken pro Rasterfläche (16m²) und Jahr in der Umgebung der WEA 1, 2, 4, 7, 9 - 12, 14 und 17 am Standort Züssow (Karte /1.4/).

B.2 Schadenshäufigkeiten

Aus den ermittelten Flugbahnen ergeben sich für die Gefährdungsbereiche der zu betrachtenden WEA gemäß Kapitel 4.4.4 die in Tabelle B.2.1 aufgeführten Randbedingungen.



Tabelle B.2.1: Randbedingungen für die Bewertung von Sach- bzw. Personenschäden am Standort Züssow.

WEA	Schutzobjekt	Anzahl Treffer pro Jahr
1	Am Felde	7.4
	weitere Gemeindeverbindungsstraße	0.5
2	weitere Gemeindeverbindungsstraße	1.2
4	weitere Gemeindeverbindungsstraße	8.4
7	K15	0.9
	weitere Gemeindeverbindungsstraße	27.9
10	K15	6.5
11	B111	3.4
12	K15	1.5
14	Am Felde	8.4
17	K15	1.6
	weitere Gemeindeverbindungsstraße	0.01

Für die Bewertung von Personenschäden wird davon ausgegangen, dass jedes Kfz im Mittel mit 1.5 Personen besetzt ist. Dies entspricht der durchschnittlichen Besetzungszahl von Pkw in Deutschland /1.6/. Eine infolge eines Treffers durch Eis resultierende Verkettung von Unfällen wurde nicht betrachtet.

Mit den genannten Ausführungen ergeben sich die in Tabelle B.2.2 aufgelisteten Unfallhäufigkeiten bzw. Risiken.

Das in Abhängigkeit von der Aufenthaltshäufigkeit von Personen zu betrachtende Risiko ist in Tabelle B.2.2 jeweils fett gedruckt.

Relevante Überschreitungen der Risikogrenzwerte gemäß Tabelle 2.8.3.1 bzw. Werte im ALARP-Bereich, die eventuell weitere Maßnahmen erfordern, sind in Tabelle B.2.2 jeweils kursiv gedruckt.



Tabelle B.2.2: Kollektive und individuelle Risiken für Personenschäden am Standort Züssow.

WEA	Schutzobjekt	Kollektives Personenrisiko	Individuelles Personenrisiko
1	Am Felde	$1.55 \cdot 10^{-5}$ (einmal in 64 000 Jahren)	$4.14 \cdot 10^{-7}$ (einmal in 2.4 Mio. Jahren)
	weitere Gemeindeverbindungsstraße	$1.06 \cdot 10^{-6}$ (einmal in 947 000 Jahren)	$2.82 \cdot 10^{-8}$ (einmal in 35 Mio. Jahren)
2	weitere Gemeindeverbindungsstraße	$2.43 \cdot 10^{-6}$ (einmal in 410 000 Jahren)	$6.49 \cdot 10^{-8}$ (einmal in 15 Mio. Jahren)
4	weitere Gemeindeverbindungsstraße	$1.76 \cdot 10^{-5}$ (einmal in 56 000 Jahren)	$4.68 \cdot 10^{-7}$ (einmal in 2.1 Mio. Jahren)
7	K15	$7.65 \cdot 10^{-5}$ (einmal in 13 000 Jahren)	$1.02 \cdot 10^{-7}$ (einmal in 9.8 Mio. Jahren)
	weitere Gemeindeverbindungsstraße	$5.81 \cdot 10^{-5}$ (einmal in 17 000 Jahren)	$1.55 \cdot 10^{-6}$ (einmal in 645 000 Jahren)
10	K15	$5.67 \cdot 10^{-4}$ (einmal in 1700 Jahren)	$7.56 \cdot 10^{-7}$ (einmal in 1.3 Mio. Jahren)
11	B111	$2.60 \cdot 10^{-3}$ (einmal in 380 Jahren)	$6.23 \cdot 10^{-7}$ (einmal in 1.6 Mio. Jahren)
12	K15	$1.29 \cdot 10^{-4}$ (einmal in 7700 Jahren)	$1.71 \cdot 10^{-7}$ (einmal in 5.8 Mio. Jahren)
14	Am Felde	$1.75 \cdot 10^{-5}$ (einmal in 57 000 Jahren)	$4.66 \cdot 10^{-7}$ (einmal in 2.1 Mio. Jahren)
17	K15	$1.43 \cdot 10^{-4}$ (einmal in 7000 Jahren)	$1.90 \cdot 10^{-7}$ (einmal in 5.2 Mio. Jahren)
	weitere Gemeindeverbindungsstraße	$1.88 \cdot 10^{-8}$ (einmal in 53 Mio. Jahren)	$5.00 \cdot 10^{-10}$ (einmal in 2.0 Mrd. Jahren)